

21/83

وزارة التعليم العالي والبحث العلمي  
MINISTÈRE DE L'ENSEIGNEMENT SUPERIEUR ET DE LA RECHERCHE SCIENTIFIQUE

UNIVERSITE DES SCIENCES ET DE LA TECHNOLOGIE  
« HOUARI BOUMEDIENNE »

ECOLE NATIONALE POLYTECHNIQUE D'ALGER  
Département Génie Mécanique

PROJET DE FIN D'ETUDES  
ECOLE NATIONALE POLYTECHNIQUE  
BIBLIOTHEQUE

THEME

TOUR DE REFROIDISSEMENT  
HUMIDE

2e PLANCHES

Proposé par :

Mr. DJEBLOUN

Suivi par :

Mr. GACEM

Etudié par :

DEBOUB Khaled



الجمهورية الجزائرية الديمقراطية الشعبية  
République Algérienne Démocratique et Populaire

وزارة التعليم العالي والبحث العلمي  
MINISTÈRE DE L'ENSEIGNEMENT SUPERIEUR ET DE LA RECHERCHE SCIENTIFIQUE

—»o«—

UNIVERSITE DES SCIENCES ET DE LA TECHNOLOGIE  
« HOUARI BOUMEDIENNE »

—»o«—

ECOLE NATIONALE POLYTECHNIQUE D'ALGER  
Département Génie - Mécanique

—»o«—

PROJET DE FIN D'ETUDES

—»o«—

**THEME**

**TOUR DE REFROIDISSEMENT  
HUMIDE**

Proposé par :

Mr. DJEBLOUN

Suivi par :

Mr. GACEM

Etudié par :

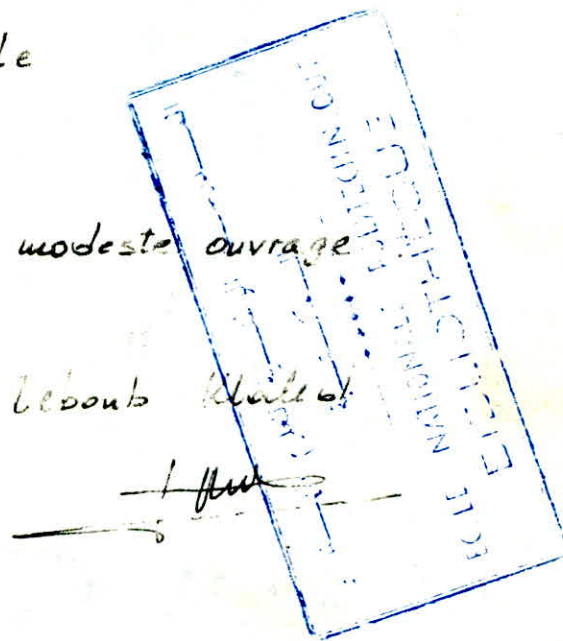
DEBOUB Khaled

Promotion Juin 1983

## DEDICACES

- A ma mère, à mon père
- A mon Oncle Missoui aïssa
- A ma soeur
- A toute ma famille
- A tous mes amis

Je dédie ce modeste ouvrage



Lébous Kalla

— — — — —

## REMERCIEMENTS

Toute ma gratitude la plus sincère et la plus profonde à mon promoteur M<sup>e</sup> GACEM, qui par sa collaboration effectue et ses judicieux conseils, a rendu possible l'élaboration de ce projet.

J'exprime ma vive et sincère reconnaissance à tous les professeurs et assistants qui ont bien voulu répondre à mes questions, ainsi que pour leurs conseils qui m'ont aidé à réaliser ce projet.

Je tiens à remercier tous les professeurs qui ont contribué à ma formation.

## Résumé

Le travail que nous nous proposons de faire est de traiter l'étude d'une tour de refroidissement humide (ou refroidisseur de fluides industriels) dont la capacité d'échange est de ( $1.000.000 \frac{\text{kcal}}{\text{h}}$ ). Le système envisagé est un système de refroidissement évaporatif à circuit fermé. Cette combinaison (Tour + échangeur) a été adoptée dans le but d'économiser de l'eau et afin de réduire les coûts d'exploitation comparé à d'autres systèmes. Le media à refroidir dans notre cas est l'eau. Les conditions choisies sont standards, avec une température ambiante de  $22^\circ\text{C}$  et une humidité relative de 60% ainsi qu'un écart de  $20^\circ\text{C}$  pour l'échangeur, ce qui conduit à une surface d'échange de  $92,88 \text{ m}^2$ , résultat acceptable mais qui reste à vérifier par l'expérience. Pour améliorer ce résultat davantage et assurer un bon rendement de la tour, on doit vérifier les limites de la formule utilisée pour calculer  $h_i$ ; coefficient de transmission interne de l'échangeur.

Les puissances de la pompe ( $2,705 \text{ kW}$ ) et des ventilateurs ( $5,437 \text{ kW}$ ) avec des rendements estimés respectivement ( $0,75$ ) et ( $0,70$ ) montrent bien qu'avec un choix judicieux des paramètres, on aboutirait à des résultats encore plus précis.

# TABLE DES MATIERES

## - CHAPITRE . I. INTRODUCTION

|   |    |
|---|----|
| 1. Utilité . . . . .                            | 1  |
| 2. Historique . . . . .                         | 2  |
| 3. Objectif de l'étude . . . . .                | 3  |
| 4. Principe de fonctionnement . . . . .         | 3  |
| 5. Comparaison avec d'autres systèmes . . . . . | 4  |
| 6. les réfrigérants atmosphériques . . . . .    | 6  |
| 7. les échangeurs de chaleur . . . . .          | 18 |

## - CHAPITRE . II ETUDE ET DIMENSIONNEMENT DE L'ECHANGEUR

|   |    |
|---|----|
| 1. Échangeur de chaleur à courants parallèle et à contre courant . . . . .              |    |
| 2. Détermination de la température du fluide après contact avec l'échangeur . . . . .   | 21 |
| 3. Température moyenne logarithmique . . . . .  | 21 |
| 4. Dimensions de l'échangeur . . . . .  | 23 |
| 4a. Coefficient global de transmission . . . . .  | 24 |
| 4b. Calcul des différents coefficients de transmissions ( $h_a, h_i, \dots$ ) . . . . . | 25 |
| 4c. Surface d'échange . . . . .   | 31 |

## - CHAPITRE . III . THEORIE DES TOURS DE REFROIDISSEMENT

|  |    |
|--|----|
| 1. Principe . . . . .                          | 32 |
| 2. Circulation des fluides air / eau . . . . . | 32 |
| 3. Etude théorique . . . . .                   | 32 |

|      |  |    |
|------|--|----|
| 3.1  | Bilan thermique d'une tour à ruisseaulement . . . . .      | 33 |
| 3.2  | Équations théoriques . . . . .                             | 33 |
| 3.3  | Caractéristiques de l'air à l'entrée de la tour . . . . .  | 36 |
| 3.4  | Caractéristiques de l'air à la sortie de la tour . . . . . | 39 |
| 3.5  | Calcul de la droite de fonctionnement . . . . .            | 41 |
| 3.6  | Représentation de la ligne opératoire . . . . .            | 42 |
| 3.7  | Influence des variables opératoires . . . . .              | 44 |
| 3.8  | Chute de pression dans la tour . . . . .                   | 45 |
| 3.9  | Système de distribution d'eau . . . . .                    | 47 |
| 3.10 | Entretien de la tour et traitement de l'eau . . . . .      | 54 |

#### - CHAPITRE - IV - APPENDICES

|               |   |    |
|---------------|---|----|
| Appendice A : | Dimensionnement de l'échangeur . . . . .        | 57 |
| Appendice B : | Calcul de la droite de fonctionnement . . . . . | 62 |
| Appendice C : | Chute de pression dans la tour . . . . .        | 63 |
| Appendice D : | Puissance des ventilateurs . . . . .            | 64 |
| Appendice E : | Calcul des pertes de charges . . . . .          | 65 |
| Appendice F : | Puissance de la pompe . . . . .                 | 67 |

- CONCLUSION

- REFERENCES

## TABLE DES TABLEAUX

|  |    |
|--|----|
| - Tableau 1: Constantes physiques de l'eau .....   | 70 |
| - Tableau 2: Constantes physiques de l'air .....   | 71 |
| - Tableau 3: Pression de vapeur à saturation ..... | 92 |
| - Tableau 4: Caractéristiques de l'air .....       | 40 |
| - Tableau 5: Dimensions de la batterie .....       | 56 |

## TABLE DES FIGURES

|   |    |
|---|----|
| -1 - Schéma de la tour .....  | 5  |
| 2 - Système de refroidissement à passage unique .....                                 | 7  |
| 3 - Tour de refroidissement ouverte .....   | 7  |
| 4 - Tour de refroidissement avec échangeur .....                                      | 9  |
| 5 - Refroidisseur à air .....   | 9  |
| 1a - Tour de refroidissement à tirage naturel .....                                   | 11 |
| 1b - Tour de refroidissement à tirage forcé .....                                     | 11 |
| 1c - Tour de refroidissement atmosphérique .....                                      | 13 |
| 1d - Tour de refroidissement à tirage naturel .....                                   | 13 |
| 4.1 - Échangeur de chaleur à collecteurs nettoyables ..                               | 20 |
| 4.2 - Ecoulements à courants parallèles .....   | 22 |
| 4.3 - Ecoulements à contre-courants .....   | 22 |
| 4.4 - variation de la pression dans la section transversale<br>d'un tube .....        | 27 |
| 6 - Tour théorique à contre courant .....   | 35 |
| 7 - Courbe d'équilibre et ligne opératoire .....                                      | 43 |
| 8 - Buse de pulvérisation .....   | 48 |
| 9 - Détermination du coefficient des pertes de charges<br>singulières ( $\xi$ ) ..... | 53 |

# SYMBOLES ET ABREVIATIONS

A : Surface d'échange

$A_{min}$  : Section minimale entre les tubes

$A_t$  : coefficient

a : coefficient de diffusibilité.

B : Largeur de la bâtière

$C_p$  : chaleur spécifique.

$D_r$  : Diamètre de la rampe.

$D_s$  : Diamètre de courbure du serpentin.

F : Facteur de correction

$f'$  : Facteur de frottement empirique.

$G_c$  : Débit d'eau chaude

$G_f$  : Débit d'eau froide

$G_w$  ou  $H_w$  : Débit d'eau.

H : Hauteur de la bâtière (Chapitre I et II)

H : Pertes de charges (Chapitre III)

$h_e$  : Coefficient de transmission de chaleur externe

$h_i$  : Coefficient de transmission de chaleur interne

$H_r$  : Humidité relative

$h$  : Pertes de charges

$h_f$  : Pertes de charges par frottement

$h_c$  : Pertes de charges locales

$h_b$  : pertes de charges au niveau des buses

$h_1$  et  $h_2$  : Pertes de charges au niveau du collecteur

I : Enthalpie absolue

k : coefficient de transfert de chaleur de la paroi du tube

L : Longueur de la batterie ,  $L_t$  : Longueur totale d'un tube.

$l_r$  : longueur de la rampe

$N_t$  : Nombre de tubes (total)

$N_r$  : Nombre de tubes par rangée

$n_{rt}$  : Nombre de rangées (sommations) par tube .

$P_v$  : Pas vertical

$P_h$  : Pas horizontal

$P_s$  : Pression partielle

$P_t$  : Pression totale

$P_v$  : Puissance des ventilateurs .

$P$  : Puissance de la pompe

$P_m$  : Puissance du moteur

$Q$  : Quantité de chaleur échangée

$Re$  : Nombre de REYNOLDS

$r_i$  : Rayon interne du tube

$r_e$  : Rayon externe du tube

$r_m$  : Rayon moyen du tube

$s$  : diamètre du tube

$S_e$  : Surface spécifique

$T$  : Température

$T_m$  : Température moyenne

$T_f$  : Température du film

$T_{stw}$  : Température de saturation

$U$ : coefficient global de transmission

$v$ : vitesse linéaire

$v_m$ : vitesse linéaire moyenne

$V$ : Volume

$X$ : Humidité absolue.

$\Delta P$ : Pertes de pression

$S_m T$ : Température moyenne logarithmique.

m.c.e.: Mètre de colonne d'eau

INDICES:

e : Eau

a : Air

c : Eau chaude

f : Eau froide

1: Entrée

2: Sortie

## LETTRES GRECQUES

$\eta$ : Rendement

$\varphi$ : Angle d'inclinaison

$\mu$ : Viscosité dynamique

$\nu$ : Viscosité cinématique

$\lambda$ : Conductivité thermique du matériau

$\rho$ : Masse volumique

$\epsilon$ : Coefficient des pertes de charges

# CHAPITRE I . INTRODUCTION

## I.1 - Utilité des tours de refroidissement .

Les tours de refroidissement d'eau sont utilisées dans de nombreux cas industriels (conditionnement d'air, réfrigération, refroidissement de fluides industriels, etc...) où il est nécessaire de refroidir de grandes quantités d'eau; c'est en particulier le cas de refroidissement de l'eau circulant dans les condenseurs d'un circuit frigorifique d'une installation de réfrigération ou de congélation, quand elles sont couplées avec système économiseur qui permet de limiter le débit d'eau d'appoint en eau froide. Les tours de refroidissement peuvent être utilisées dans n'importe quel processus dans lquel l'eau est utilisée comme véhicule pour l'enlèvement de la chaleur et quand il est désirable de faire un rejet final de chaleur dans l'air atmosphérique. L'eau remplissant les fonctions de fluide de transfert de chaleur, cède cette dernière à l'air atmosphérique et ainsi l'eau de refroidissement récupérée et recyclée à travers le système, fournissant une opération économique. En circuit fermé le réfrigérant atmosphérique peut être à tirage naturel ou à tirage forcé; Ce dernier implique une dépense énergétique certaine, mais présente des avantages non négligeables par sa faible consommation d'eau et simplicité dans le fonctionnement. Les tours sont généralement à l'extérieur, au sol ou sur la terrasse d'un bâtiment (Dans certains cas); Elles peuvent

être installés à l'intérieur à condition que le soufflage d'air soit gainé jusqu'à l'intérieur et que l'air extérieur puisse se faire facilement ; la gaine sur le soufflage peut entraîner une réduction sensible du débit d'air et par conséquent un abaissement de la puissance calorifique dégagée.

## I. 2. Historique

Les tours de refroidissement d'eau (« Cooling towers » en anglais), sont aussi appelés : Aérorefrigérateurs, économiseurs d'eau et réfrigérants atmosphériques ...

Elles sont importantes chaque fois qu'un important besoin en eau « fraîche » est nécessaire. Cette eau de plus en plus rare, donc de plus en plus cher ! De plus, certains règlements s'opposent à la consommation d'eau potable à des fins industrielles. Dans le but de trouver une solution à ce problème, des travaux ont été faits par les physiciens suivants : LEWIS (1922), MOLLIER (1923), MERKEL (1925), NOTTAGE (1941), LICHTENSTEIN (1944), SHERWOOD (1946), MICKLEY (1949) et G. RIGOT [3] l'étude théorique qui suit est en partie une synthèse des travaux réalisés par les physiciens cités ci-dessus. La tour étudiée est du type, refroidisseurs de fluides industriels de type VX, réalisation récente par (B.A.C) Baltimore air cool.

### I.3 Objectif de l'étude .

Le but de cette étude est de dimensionner une tour de refroidissement huile dans le cas d'une aérorefrigeration à tirage forcé . Les lattes sont dans ce cas remplacées par un échangeur (Serpentin) ; donc le travail consiste à déterminer la surface d'échange du Serpentin et le dimensionnement de la tour en tant qu'ensemble (section échange et section bassin) et le choix des auxiliaires en tenant compte de l'encombrement . L'étude comportera une partie théorique sur les échangeurs de chaleur et sur les tours de refroidissement ; une deuxième partie réservée aux différents calculs nécessaires pour le dimensionnement de l'échangeur et de l'ensemble .

### I.4. Principe de fonctionnement de la tour choisie .

Le fluide à refroidir circule dans les tubes de l'échangeur de chaleur (Voir fig. 1) . À travers la paroi des tubes, la chaleur du fluide se transfère à l'eau ruisselant sur les tubes . Un courant aérodynamique est forcé à travers la batterie , provoquant l'évaporation d'un faible pourcentage de l'eau de ruissellement , absorbant ainsi la chaleur latente d'évaporation et la rejettant à l'atmosphère . L'eau de ruissellement tombe dans le bassin et est recirculée par la pompe . Les gouttes d'eau entraînées par l'air sont arrêtées par éliminateurs placés au

au sommet de l'appareil et retombent dans le bassin.  
La consommation d'eau se limite à la quantité vaporisée, plus  
une faible qu'on purge ponctuellement à dessein, afin de  
limiter la concentration des impuretés dans le bassin.

### I.5 Comparaison avec d'autres systèmes.

#### 5.1. Passage unique : (fig. 2)

c'est le système le moins économique ne se justifiant que  
par l'utilisation d'une installation à proximité d'une  
rivière du fait du rejet total de l'eau de refroidissement.

#### 5.2 Tour de refroidissement ouverte : (fig. 3).

Les tours de refroidissement ouvertes sont des économiseurs  
d'eau, mais l'eau à refroidir y est en contact avec  
le mouvement d'air, dont les impuretés le contaminent,  
causent ainsi des problèmes d'entartrage et de corrosion  
des échangeurs de chaleur. Par contre le système choisi  
élimine les problèmes d'enrassement et d'entartrage  
des circuits de refroidissement, le liquide à refroidir  
circulant dans un système propre fermé, étanche.

#### 5.3. Tour de refroidissement avec échangeur. (fig. 4)

Cette combinaison économise l'eau et présente les avantages  
du refroidissement en circuit fermé mais plus honorent  
qu'un refroidisseur évaporatif puisqu'il est constitué

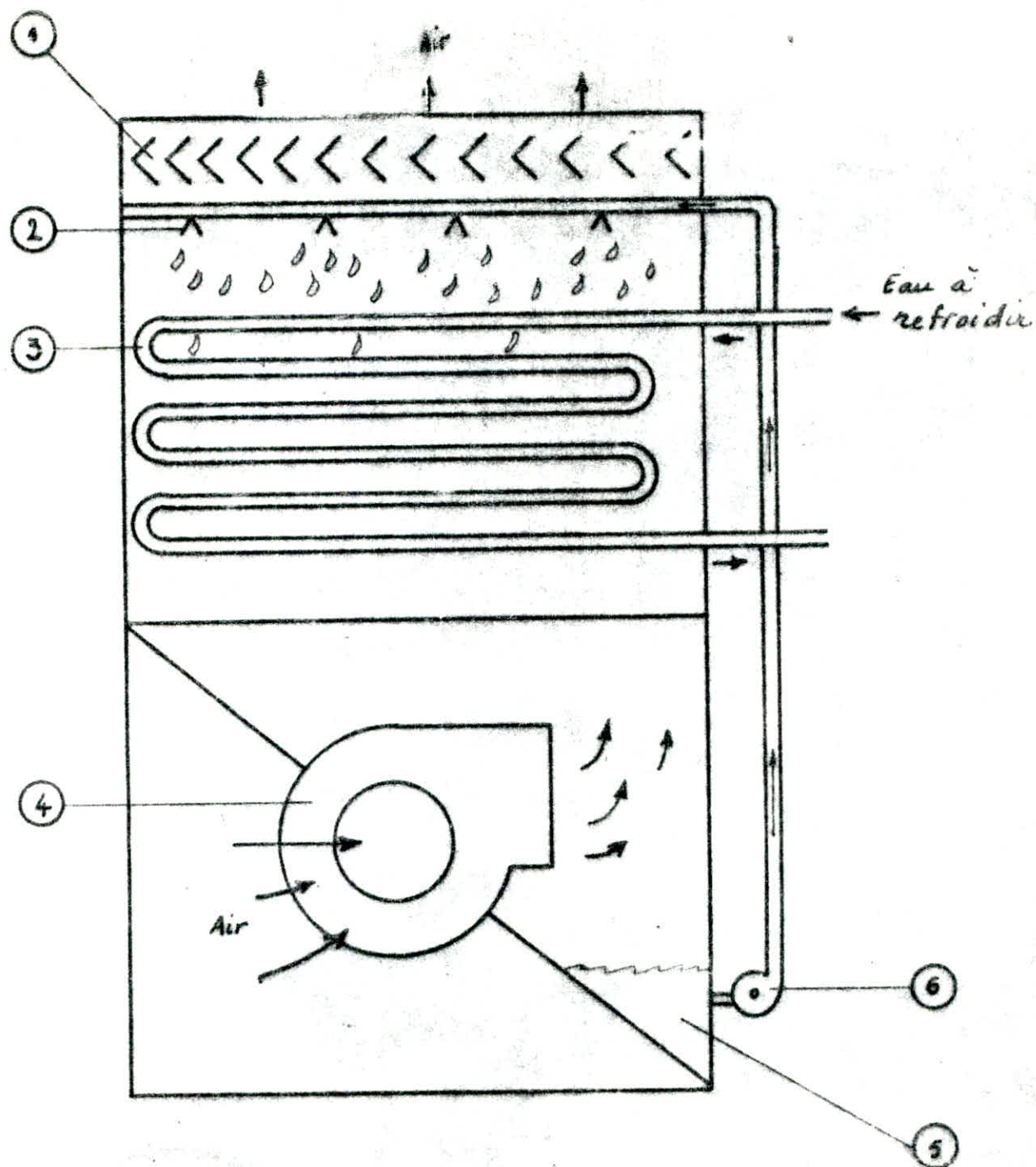


Fig. 1 Schéma de la tour

- (1) Eliminateurs.
- (2) Éléments de dispersion.
- (3) Échangeur de chaleur.
- (4) Ventilateur.
- (5) Bassin de récupération.
- (6) Pompe de recirculation.

6

de deux éléments à installer et à raccorder. Le coût d'exploitation est également plus élevé, puisque la tour de refroidissement demande une plus grande pompe pour son circuit d'eau de ruisselement.

#### 5.4 Rétrofroidisseurs à air ou Aerorefrigérant (fig 5).

Son efficacité est déterminée par le transfert de la chaleur sensible et demande un débit d'air plus élevé et une plus grande surface d'échange que le rétrofroidisseur évaporatif. Son emploi est plus intéressant du fait de l'élimination de tout le circuit hydraulique (Pompe, tuyauterie ... etc) et peut se justifier pleinement dans les endroits manquant d'eau en grande quantité.

### I.6. Les réfrigérants atmosphériques.

#### 6.1. Mode de la réfrigération.

Le transfert de chaleur de l'eau chaude à l'air froid est accompli essentiellement par évaporation et dans une certaine mesure par transfert de chaleur sensible. Quand l'air entre son humidité relative est généralement inférieur à 100%, il sort avec température seche plus grande et avec une teneur en humidité plus proche de la saturation. La quantité d'eau évaporée est relativement

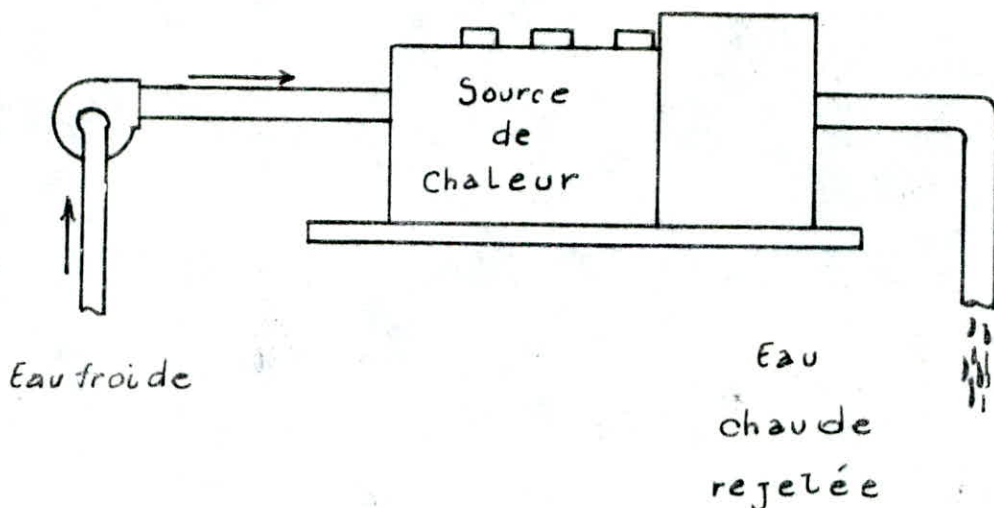


Fig.2: Système de refroidissement à passage unique

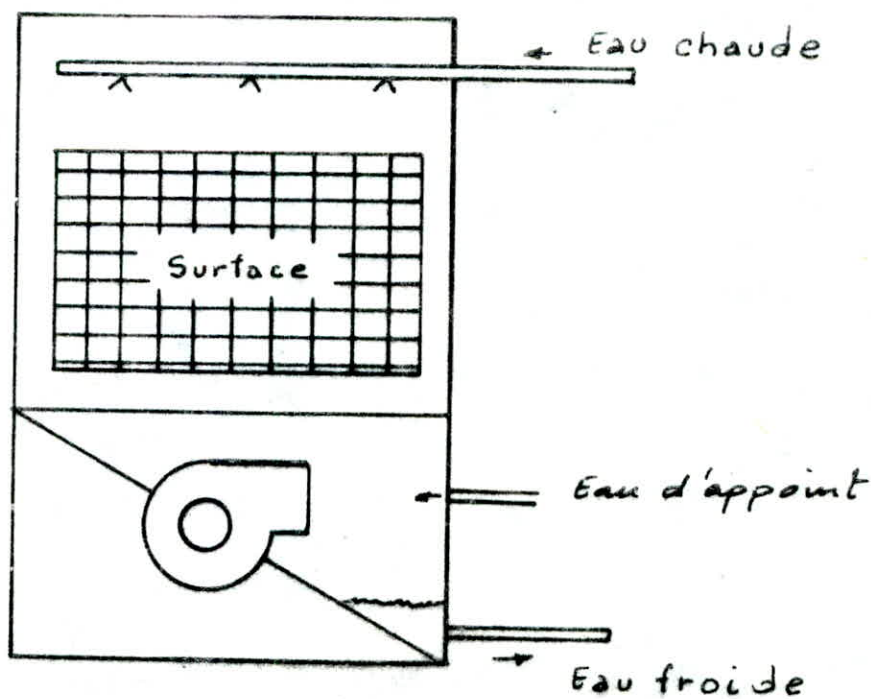


Fig:3 . Tour de refroidissement ouverte

faible, elle représente typiquement 1% de l'eau de circulation pour chaque  $10^{\circ}\text{C}$  de refroidissement. Les pertes sont généralement de 0,1 à 0,2% de l'eau de circulation de la tour et doivent être additionnées aux pertes par évaporation pour faire le compte de toute l'eau perdue dans l'opération pratique du refroidissement.

## 6.2. Classification des tours de refroidissement.

On peut classer ces tours selon 2 types principaux; les tours à tirage mécanique et les tours à circulation naturelle.

### 6.2.1. Tour à tirage mécanique.

Dans les tours à tirage mécanique, l'air peut être distribué de deux façons.

#### - a - Tours à tirage unidirectionnel : (Fig. 1.a)

Les tours de cette classe sont les plus demandés actuellement, la tendance vers ces tours ne s'est accentuée que ces dernières années; Elle représente néanmoins une transition logique vu tous les avantages qu'elle offre sur les autres.

Dans ces tours, l'air peut entrer sur une ou plusieurs largeurs entières du mur, il en résulte que la hauteur de la tour requise pour l'entrée de l'air est réduite.

L'air aspiré se décharge à travers le ventilateur à grande

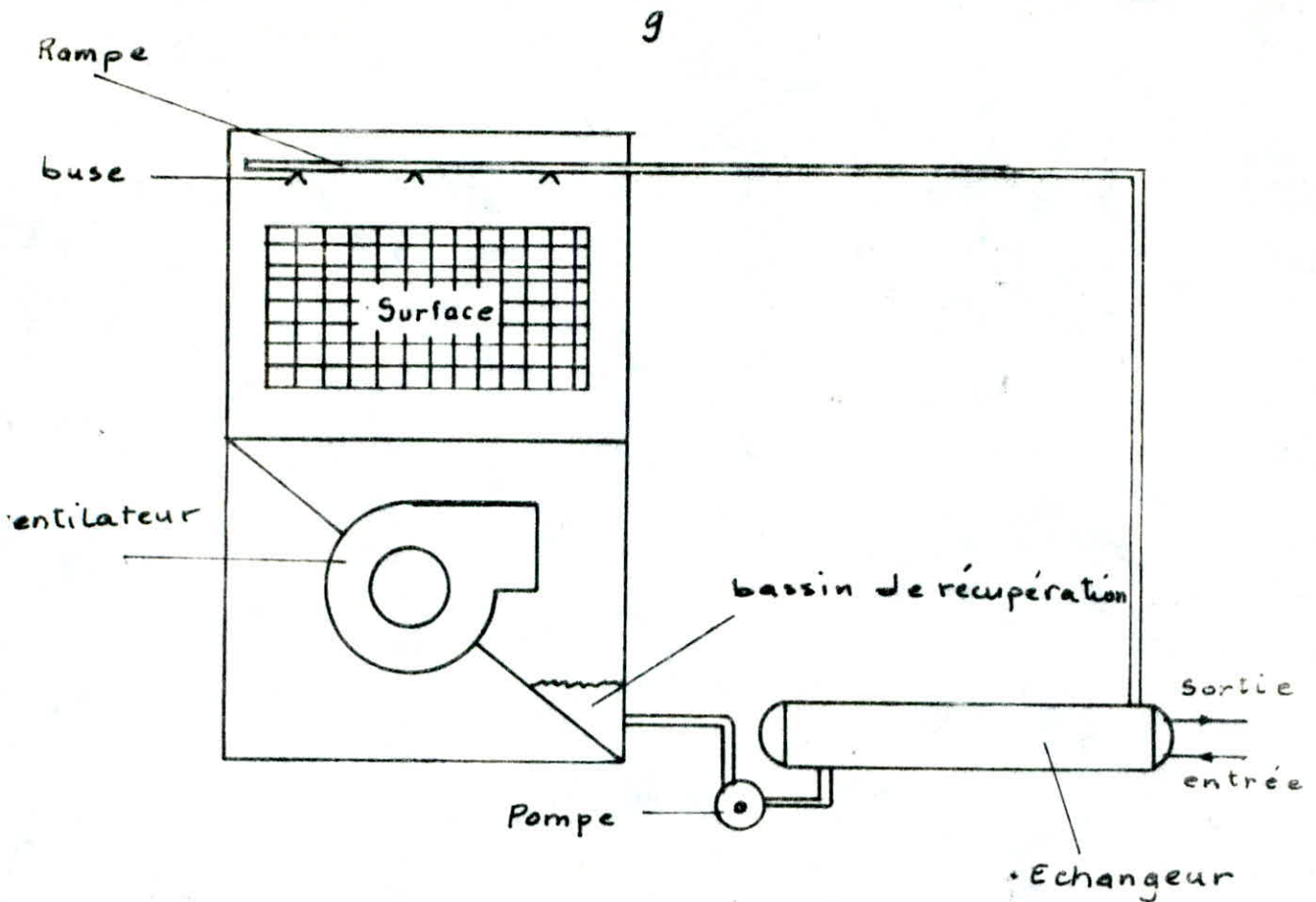


Fig:4 TOUR de refroidissement  
avec échangeur de chaleur

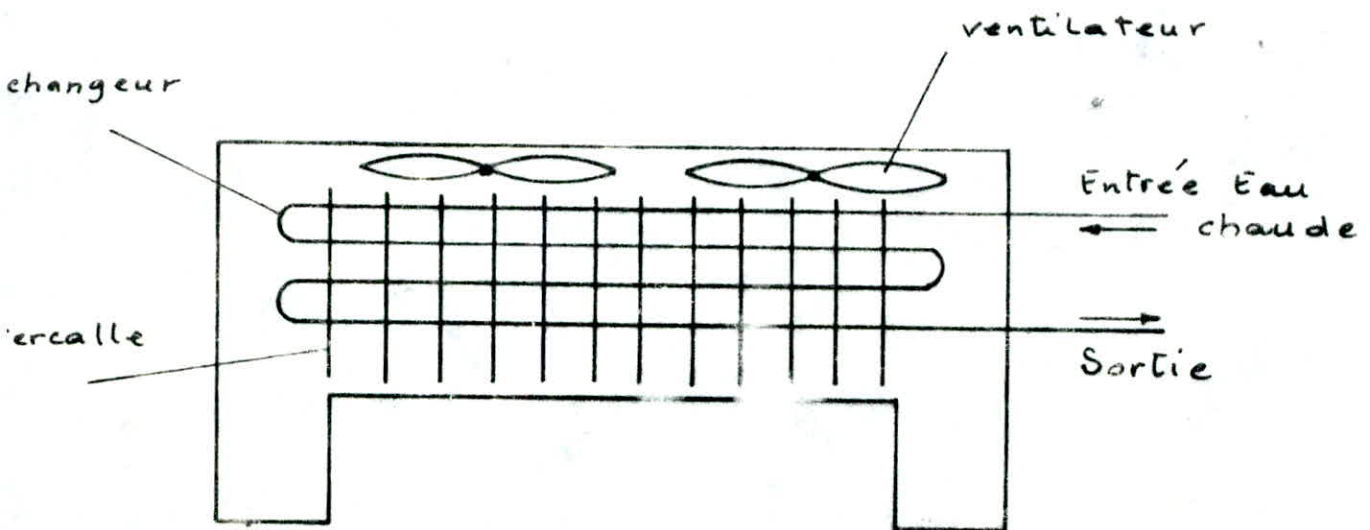


Fig:5 Refroidisseur à air

vitesse comme dans les courants d'air naturels. Cependant la chute de pression se trouve du côté de la prise d'air du ventilateur, ce qui augmente la puissance totale de ce dernier. La grande vitesse de décharge du tirage induit produit aussi entraînement substantiel de gouttelettes d'eau du système par le courant d'air.

#### -b- Tours à tirage forcé : (Fig. 1b).

Dans ce type de tirage, l'air entre à travers l'ouverture circulaire du ventilateur, alors une grande hauteur et un volume de la tour relativement inefficaces doivent être pourvus d'un espace d'arrivée d'air. La distribution de l'air est pauvre car celui-ci doit de  $90^\circ$  et à grande vitesse.

Dans ces tours, l'air se décharge à une vitesse faible pour une grande ouverture au sommet. Dans ces conditions, l'air possède une petite vitesse d'entrée et tend à s'installer sur le chemin de la prise d'air du ventilateur. Ceci signifie que la prise d'air frais est contaminée par l'air partiellement saturé, qui est déjà passé à travers la tour auparavant. Quand cela se produit, il y'a recirculation et réduit alors la capacité de performance de la tour de refroidissement.

#### 6.2.2 Tour à circulation naturelle.

Elles sont de deux types aussi :

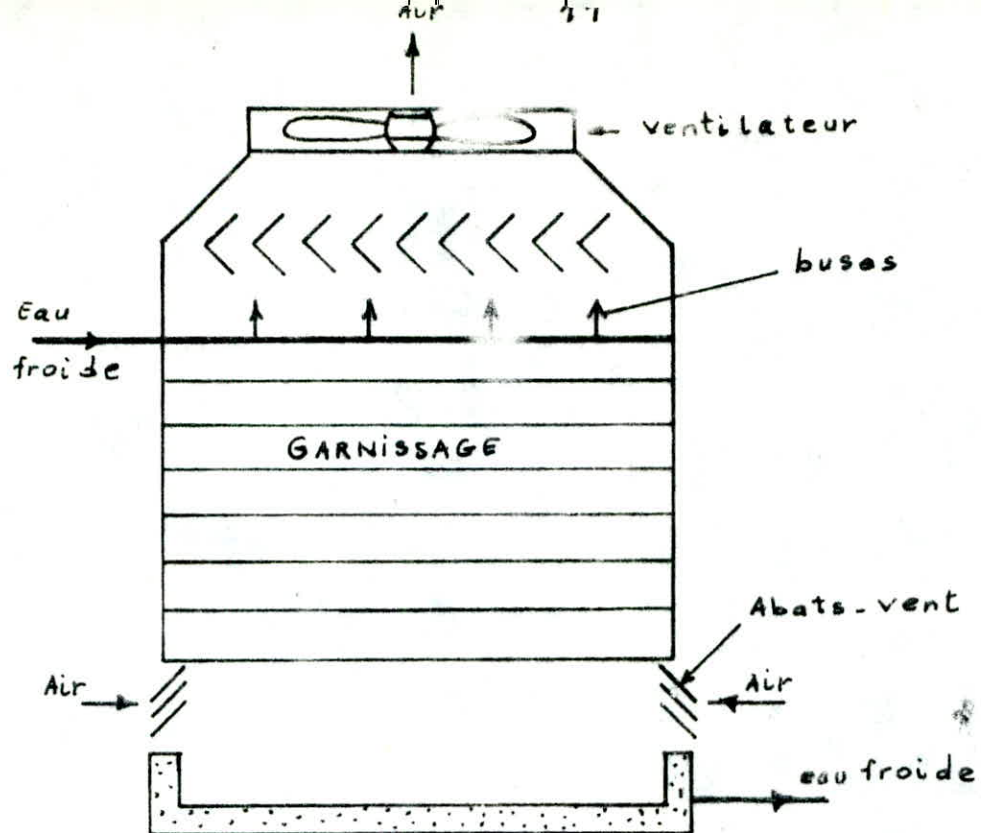


Fig. 1.a: Tirage induit

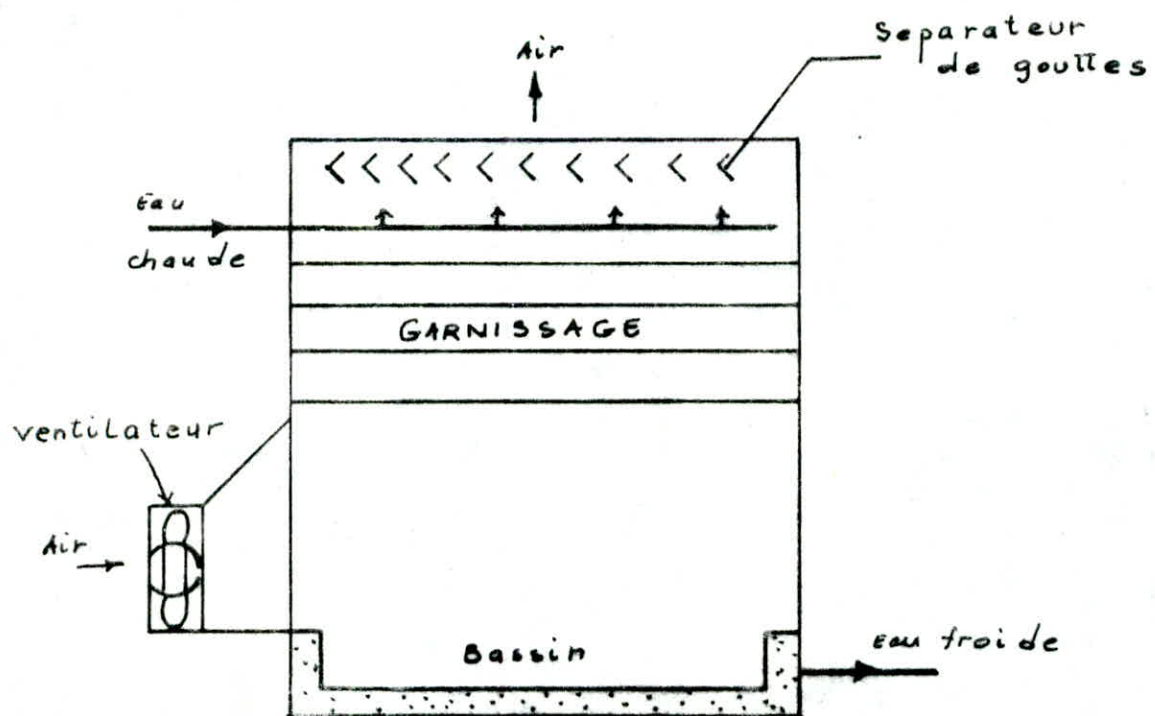


Fig. 1.b: Tirage forcé.

- a - Tour atmosphérique . (Fig. 1c) .

La tour atmosphérique utilise les courants de vent atmosphérique l'air entre sur les côtés latéraux à travers des abats-vents dans direction à la fois changeant avec le temps dans l'année et d'autres conditions atmosphériques, dans les lieux ayant des vitesses moyennes de vent de 8 ou 9 km/h et partout où la puissance coûte chère; la tour atmosphérique est considérée comme le type le plus économique. Sachant que les courants atmosphériques doivent pénétrer sur toute la longueur de la tour, cette dernière est construite très étroite en comparaison avec les autres types, mais elle doit être très longue pour avoir une capacité égale. Elle devrait pour cela atteindre 600 mètres , ce qui est un non-sens , les pertes se produisent sur le côté latéral en entier et sont plus importantes que pour les autres types . Ces tours n'utilisent pas efficacement le potentiel disponible, sachant qu'elles opèrent à courants croisés, alors que l'utilisation la plus efficace du potentiel est donnée par le contre-courant .

Quand l'eau refroidie est désirée à une température proche de la température humide , ce type est incapable de la produire . Les tours atmosphériques sont par conséquent de grande dimension et ont un grand coût initial et quand l'air se calme , elles peuvent cesser d'opérer .

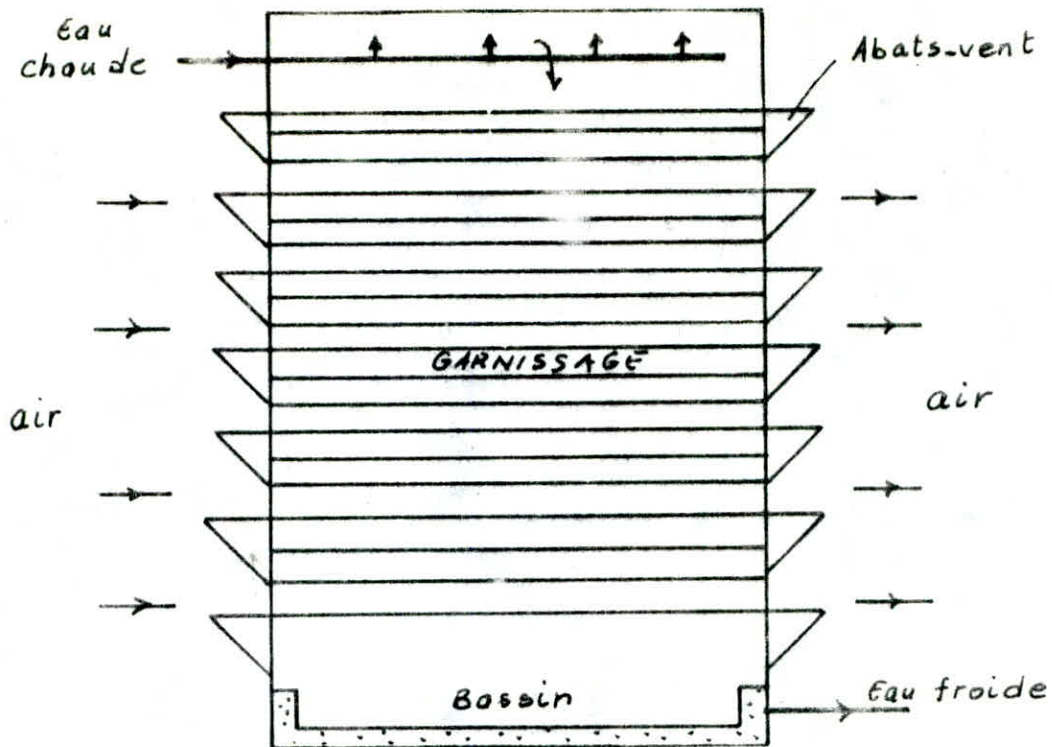


Fig. 1.c: Tour atmosphérique

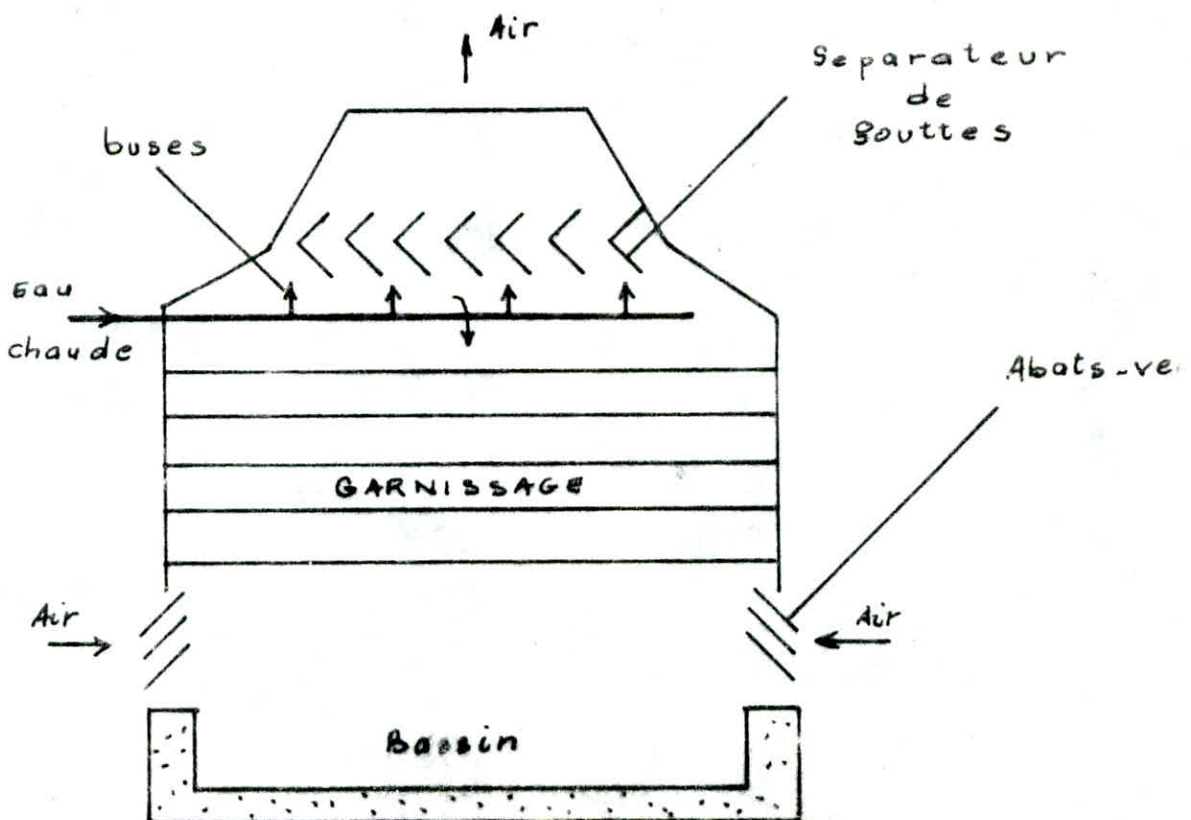


Fig. 1.d: Tour à tirage naturel

Elles ont un grand avantage cependant, c'est celui d'éliminer le coût de l'opération principale des tours à tirage mécanique c'est à dire le coût de la puissance du ventilateur.

Dans les régions où les vitesses moyennes du vent sont faibles, les charges fixes et les coûts de pompage compensent cet avantage.

### - b - Tour humide à tirage naturel : (Fig. 1d).

Les tours humides à tirage naturel opèrent de la même façon que les cheminées de hauts fourneaux ; l'air est chauffé dans la tour par contact avec l'eau chaude, ce qui entraîne un abaissement de sa densité. La différence entre les densités de l'air à l'intérieur de la tour et l'extérieur crée un écoulement naturel de l'air froid vers l'intérieur par le bas et le rejet de l'air chaud de densité plus basse, vers le sommet. Les tours humides à tirage naturel doivent être hautes pour avoir aussi de larges sections transversales de croisement à cause du faible taux de vitesse dans lequel circule l'air comparé avec celui du tirage forcé. Ces tours humides à tirage naturel consomment plus de puissance de pompage que les Tours à tirage indirect ou forcé; cependant elles éliminent le coût de la puissance du ventilateur. Dans ce type de tour, la première considération

doit être donnée par les caractéristiques de la température de l'air.

### 6.3 . Les composants de la tour choisie

#### 6.3.1. Section d'échange .

- L'échangeur de chaleur représenté sur la figure 4.1 est un serpentin continu en tube d'acier lisse, éprouvé à une pression d'air de 2415 kpa sous immersion d'eau. Il est étudié pour une faible perte de charge et ses tubes sont inclinés afin de permettre une purge aisée du fluide à refroidir. La batterie est montée dans un chassis en acier et l'ensemble est galvanisé à chaud.

#### - Le système de distribution d'eau .

Il comprend un collecteur d'arrivée d'eau et des rampes de distribution en tube, acier galvanisé, munies de buses de pulvérisation en plastique, de grand diamètre et de large orifice, du type non-obstruable, disposée de façon à permettre un arrosage uniforme de la batterie sous toutes conditions d'opération. Les buses, les rampes et les collecteur sont raccordés au moyen de bagues en caoutchouc qui permettent un démontage rapide pour nettoyage.

#### - Les Éliminateurs .

Ils ont un profil à trois changements de directions, avec angle finisseur, étudié pour retenir effectivement les gouttelettes

d'eau entraînées par l'air. De plus, ce profil augmente la vitesse de refoulement et oriente le flux d'air loin de l'aspiration des ventilateurs ; montés en sections de manipulation facile ; les éliminateurs peuvent être enlevés pour donner accès au système de distribution d'eau.

### 6.3.2 Section bassin .

La section bassin est en forme de V, avec un ventilateur monté sous son plan incliné. L'ensemble est réalisé en acier galvanisé en plein bain et protégé par une fini au chromate de zinc et aluminium.

La section bassin est constituée comme suit : -

- Des portes de visite circulaires donnent aisément accès à l'intérieur du bassin pour inspection et réglage de la vanne à flotteur, nettoyage des tamis et rinçage du bassin .

- Une pompe de recirculation est une unité centrique monobloc, en bronze avec garniture mécanique . La tuyauterie est prévue depuis l'aspiration de la pompe jusqu'au système de distribution d'eau par aspersion ; installée verticalement la pompe se vidange en même temps que le bassin .

Le moteur électrique est doté d'un capot de protection .

- Une conduite de purge permanente est montée entre le refoulement de la pompe et l'évacuation du trop-plein

Une vanne permet de régler son débit.

- La vanne d'appoint d'eau en laiton est commandée par un flotteur en plastique, de large orifice (diamètre) ; le niveau d'eau se règle aisément au moyen d'écrans papillons disposés sur la tige du flotteur.

- Le tamis est de forme cylindrique et peut être aisément démonté pour nettoyage de sa surface perforée.

- Les moteurs des ventilateurs sont du type fermé à carcasse ventilée. Prévus pour service à l'extérieur, ils sont montés sous le plan incliné du bassin et sont aussi protégés des intempéries.

#### 6.4. Rôle de l'échangeur dans la tour.

La section d'échange dans ce cas d'étude remplace le garnissage des tours humides ordinaires. L'utilisation dans ce cas de gicleurs capables de produire des fines gouttelettes, produisant une grande surface pour le contact air/eau; permet d'atteindre des performances élevées par mètre cube dans le cas du garnissage et par mètre carré dans le cas de l'échangeur. La disposition des tubes de l'échangeur en quinque permet de retarder la chute de la surface de la goutte à travers l'appareil et permet la dispersion du liquide sur une grande surface.

## I.7. Les échangeurs de chaleur

### 7.1. Introduction

Un échangeur de chaleur est un appareil parcouru par deux fluides ou davantage, dont l'un cède aux autres de la chaleur ou du froid. On peut dire qu'un échangeur de chaleur est appareil mettant deux fluides en contact thermique tout en ne mettant pas la contamination de l'un par l'autre. Les principes de transmission de chaleur en conduction et en convection sont appliqués pour concevoir et dimensionner un échangeur de chaleur. La surface d'échange nécessaire à l'accomplissement d'un service sera évaluée par la relation de NEWTON.

$$A = \frac{Q}{U \cdot \Delta mT} \quad (1.1)$$

où :

$A$  = Surface d'échange effective

$Q$  = Taux de chaleur transmise par unité de temps.

$U$  = Coefficient global de transmission.

$\Delta mT$  = Ecart moyen logarithmique entre les fluides chauds et froids.

Le coefficient global de transmission dépend des grandeurs géométriques caractérisant l'enveloppe dans laquelle se produit l'écoulement du medium, de la nature de

l'écoulement, de constantes physiques du medium et de la plage des températures.

### 7.2. Choix de l'échangeur.

L'échangeur choisi est à collecteurs nettoyables représenté sur la figure 4.1; ce type n'est recommandé que pour les systèmes fermés, sous pression, refroidissement des fluides, qui pourraient former des dépôts solubles dans les tubes. Des plaques démontables aux collecteurs d'entrée et de sortie de la batterie, permettent l'accès à chaque serpentin pour nettoyage aisément par pression ou au moyen de solvants.

Les tubes sont des serpentins en acier au carbone de surface fine, d'un diamètre extérieur 26,7 mm galvanisés à chaud à l'extérieur seulement. Ils sont inclinés dans le sens de circulation du fluide pour assurer une rotule libre. Les collecteurs et leurs plaques démontables sont exécutés en acier lourd et galvanisés après fabrication. Les échangeurs sont éprouvés à une pression hydraulique de 860 kpa. Il existe en option des joints pour des pressions plus élevées; les raccords coulés permettent d'enlever les plaques d'accès sans perturber la tuyauterie.

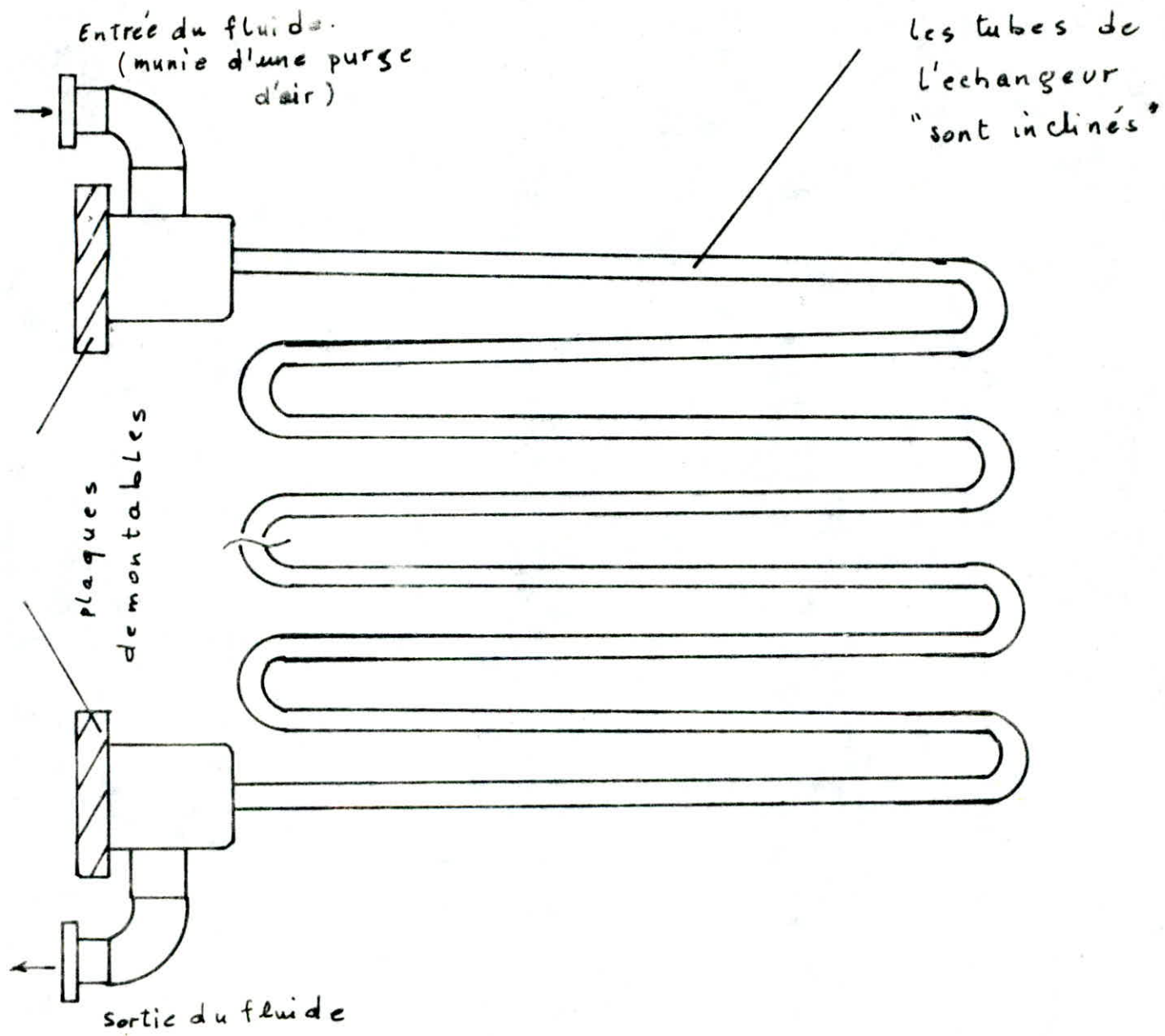


Fig. 4.1: Echangeur à collecteurs nettoyables

## CHAPITRE II : ETUDE ET DIMENSIONNEMENT DE L'ECHANGEUR

### II.1 Echangeur de chaleur à courants parallèles et à contre-courant.

Sur les figures 4.2 et 4.3 on voit les écoulements dans le cas des deux échangeurs cités. Si l'on considère les conditions d'entrée et de sortie des deux fluides dans un échangeur de chaleur, on établit le bilan thermique global de l'appareil en écrivant que la quantité de chaleur  $Q$  perdue par le fluide chaud est égale à celle prise par le fluide froid, et l'on n'élige les pertes.

$$Q = G_c \cdot C_{Pc} \cdot (T_{C_1} - T_{C_2}) = (\pm) G_f \cdot C_{Pf} \cdot (T_{f_2} - T_{f_1}) \quad (2.1)$$

(+) pour l'écoulement parallèle.

(-) pour l'écoulement à contre courant.

L'écoulement à contre courant est le cas considéré.

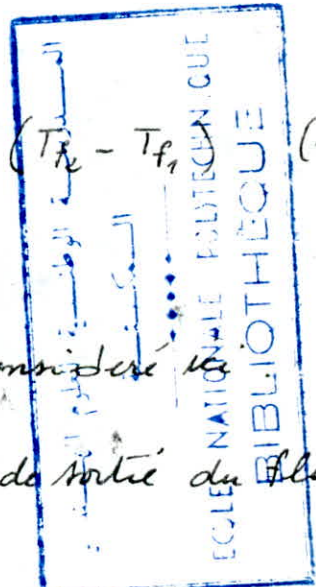
### II.2. Détermination de la température de sortie du fluide froid.

L'équation (2.1) permet d'écrire :

$$G_c \cdot C_{Pc} \cdot (T_{C_1} - T_{C_2}) = G_f \cdot C_{Pf} \cdot (T_{f_2} - T_{f_1}) \quad (2.2)$$

Où :

$$\frac{G_c \cdot C_{Pc}}{G_f \cdot C_{Pf}} (T_{C_1} - T_{C_2}) = (T_{f_2} - T_{f_1})$$



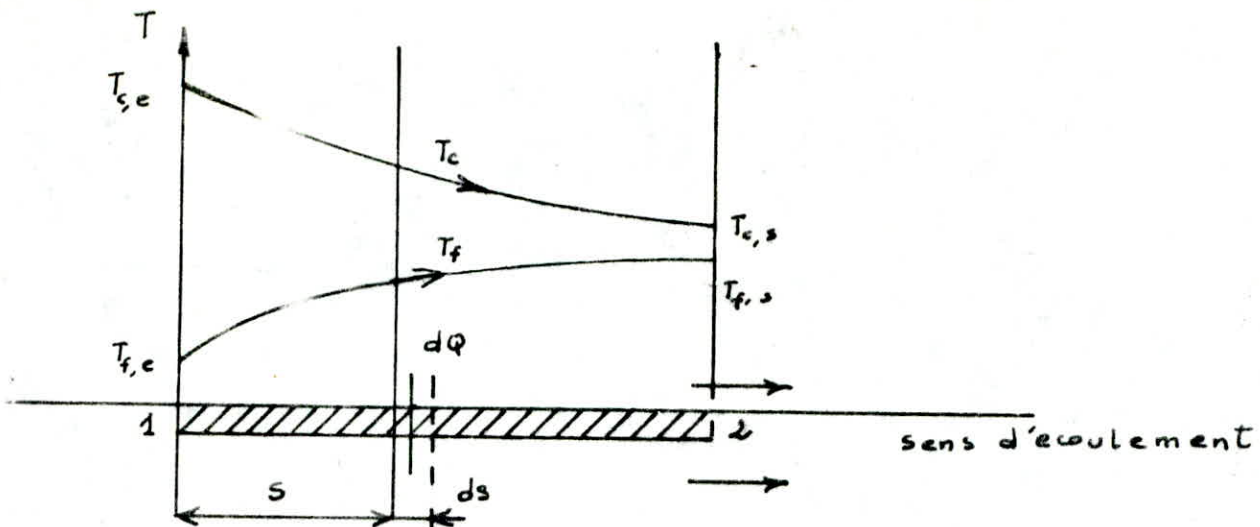


Fig. 4.2: Ecoulement à courants parallèles.

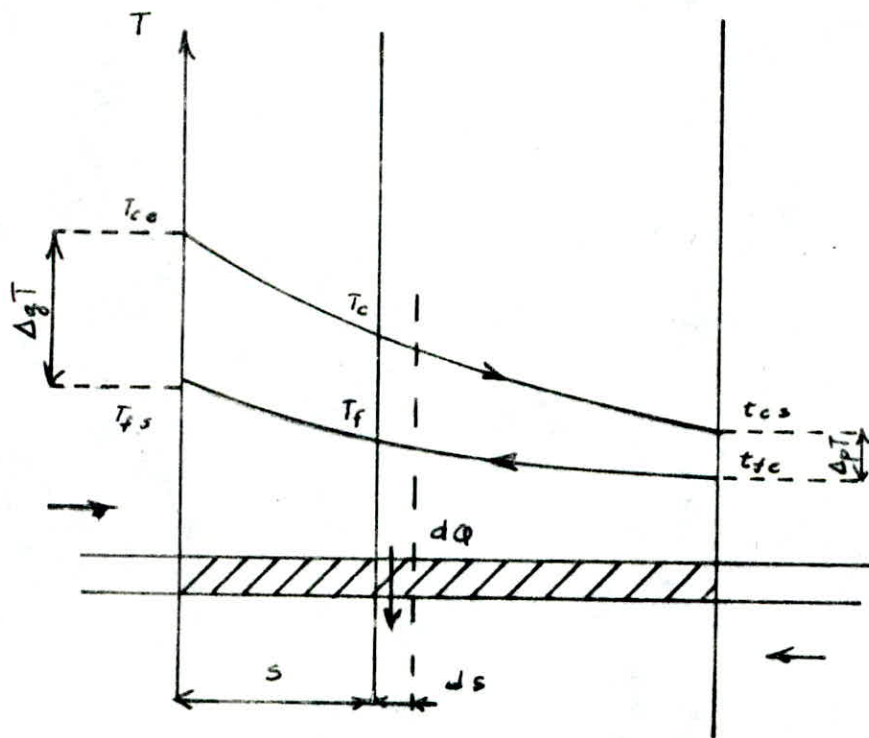


Fig. 4.3: Ecoulement à contres-courants

ce qui donne :

$$T_{f_2} = T_{f_1} + \frac{G_c \cdot C_{Pc}}{G_f \cdot C_{Pf}} (T_{c_1} - T_{c_2}) \quad (2.3)$$

Exemple de calcul :

Données :

$$\text{Avec : } G_c = 13,89 \text{ l/s}$$

$$G_f = 29 \text{ l/s}$$

$$C_{Pc} = C_{Pf} = 1 \text{ kcal/kg}^\circ\text{C}$$

$$T_{f_1} = 36,58^\circ\text{C}$$

II.3 Détermination de l'écart moyen logarithmique :  $\Delta_m T$

On peut définir une différence moyenne de température conforme à la formule :

$$Q = \int_0^S U (T_c - T_f) dS = K.S. \Delta_m T \quad (2.4)$$

La différence moyenne choisie ainsi introduite peut-être exprimée au moyen des valeurs particulières que prend  $(T_c - T_f)$  aux deux extrémités de l'appareil. En général l'une est plus grande que l'autre, nous désignerons pour  $\Delta g T$  la plus grande de ces différences et  $\Delta p T$  la plus petite.

$$\text{Alors : } G_c \cdot C_{Pc} < G_f \cdot C_{Pf}$$

$$\begin{aligned} \Delta g T &= T_{c_1} - T_{f_2} & \text{d'où : } \Delta_m T &= \frac{\Delta g T - \Delta p T}{\log \frac{\Delta g T}{\Delta p T}} \quad (2.5) \\ \Delta p T &= T_{c_2} - T_{f_1} \end{aligned}$$

L'expression (2.5) est attribuée à : HAUSBRA

Dans le cas d'un écoulement croisé cette expression est multipliée par un facteur de correction  $F$  extraits d'abques.

On a :

$$\Delta gT = 13,42^\circ C$$

$$\Delta pT = 3^\circ C$$

$$\Delta_m T = \frac{13,42 - 3}{\log \frac{13,42}{3}} = 7,0^\circ C$$

La détermination du facteur de correction nécessite l'évaluation des paramètres  $R$  et  $S$ .

$$R = \frac{T_{C_2} - T_{C_1}}{\bar{T}_{f_1} - \bar{T}_{f_2}} \quad \text{et} \quad S = \frac{\bar{T}_{f_1} - \bar{T}_{f_2}}{\bar{T}_{C_2} - \bar{T}_{C_1}}$$

$$\text{d'où : } R = 0,87 \quad \text{et} \quad S = 0,48$$

$$\text{d'après les abques on trouve : } F = 0,77$$

On aura alors :

$$Q = U \cdot A \cdot F \cdot \Delta_m T \quad (2.c)$$

#### II. 4. Détermination du coefficient global de transmission de la chaleur (basé sur le diamètre extérieur)

Il est donné par la formule suivante; pour des tubes cylindriques. (voir le calcul appendice A)

$$U_i = \left( \frac{r_e}{r_i} \cdot \frac{1}{h_i} + r_e \cdot \frac{\ln \frac{r_e}{r_i}}{k} + \frac{1}{h_e} \right)^{-1} \quad (2.7)$$

où :  $r_i$  = rayon interne du tube

$r_e$  = rayon externe du tube.

Les tubes sont en acier lisse d'où la conductivité de la paroi

$$k = 26 \frac{Btu}{h \cdot ft \cdot ^\circ F} = 45,01 \frac{W}{m \cdot ^\circ C}$$

- Détermination de  $h_i$  et  $h_e$  :

1°) Vitesse d'écoulement dans les tubes.

$$N_t = 48 \text{ tubes.}$$

$$N_r = 24 \text{ tubes.}$$

Les tubes sont disposés en quinconce, ce qui donne :

$$v = \frac{G_c}{S_t} = \frac{G_c}{N_t \cdot S}$$

2°) Calcul du nombre de REYNOLDS.

Définition :

Le nombre de REYNOLDS caractérise pour un fluide donné le type d'écoulement. Dans les conduites fermées l'écoulement est lamininaire si  $Re < 2100$ .

L'écoulement est transitoire si  $2100 < Re < 8000$ .

L'écoulement est turbulent si  $Re > 8000$ .

Le nombre de REYNOLDS est caractérisé par cette relation

$$Re = \frac{v \cdot d_i}{\nu} = \frac{\rho \cdot v \cdot d_i}{\mu} \quad (2.8)$$

où :  $v$  = vitesse d'écoulement ( $m/s$ ) .

les propriétés thermophysiques du fluide sont calculées à la température moyenne du film définie par :

$$T_{mf} = \frac{T_1 + T_2}{2}$$

Avec :  $T_f = 40^\circ C$

$$\mu = 853,3 \cdot 10^{-6} \text{ kg/m.s}$$

$$\rho = 992,2 \text{ kg/m}^3$$

$$v = 0,84 \text{ m/s}$$

$$d_i = 20,93 \text{ mm}$$

\* d'où :  $Re = 26701,46$  ; donc l'écoulement est turbulent.

Remarque :

Dans nos calculs pour l'écoulement on utilise des équations d'intérêt pratique liant le nombre de REYNOLDS au nombre de PRANDTL à la configuration géométrique du système, au gradient de température et aux conditions thermiques.

### 3°) Calcul du nombre de PRANDTL

Le nombre de PRANDTL est fonction exclusivement des propriétés du fluide. Il est pour la température moyenne du fluide chaud égal à :

$$Pr = \frac{\nu}{\alpha} \quad \text{où : } \begin{aligned} \nu &\text{ en } (\text{m}^2/\text{h}) \\ \alpha &\text{ en } (\text{m}^2/\text{h}) \end{aligned}$$

Pour  $T_f = 40^\circ\text{C}$ , on a :  $Pr = 4,35$

### 4°) Calcul du nombre de NUSSELT

Pour un écoulement développé de l'eau à l'intérieur de tubes lisses, DITTUS et BOETTLER recommandent la corrélation :

$$Nu_d = 0,023 Re_d^{0,8} \cdot Pr^n \quad (2.9)$$

Avec :  $m = \begin{cases} 0,4 & \text{pour un échauffement.} \\ 0,3 & \text{pour un refroidissement.} \end{cases}$

$$Re = 26701,46 \quad \text{d'où : } Nu = 124,34.$$

$$Pr = 4,35$$

5) Calcul du coefficient de transmission : côté eau chaude

$$Nu = \frac{h_i \cdot d_i}{\lambda_c} \quad (2.10)$$

$$\lambda_c = 0,540 \quad \frac{W}{^{\circ}\text{C} \cdot \text{m}}$$

$$\text{d'où : } h_i = \lambda_c \cdot \frac{Nu}{d_i}$$

$$h_i = 3207,23 \frac{W}{^{\circ}\text{C} \cdot \text{m}^2}$$

Mais étant donné que notre échangeur est en tubes en serpentins, ceci nous conduit à faire une correction.

Vu que la pression qui s'exerce sur la section transversale d'écoulement d'un serpentins tubulaire n'est, par suite de l'action des forces d'inerties, pas constante.

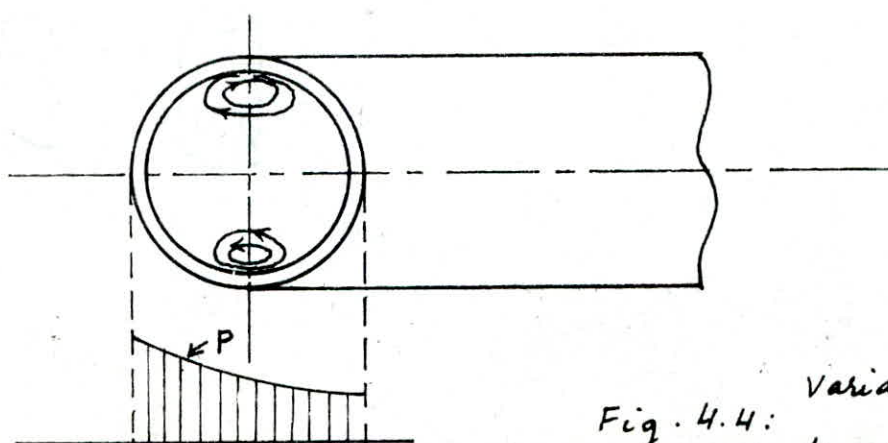


Fig. 4.4: variation de la pression dans le sens transversal

Les forces d'inertie sont, dans les zones périphériques relativement peu importantes car le medium qui s'écoule adhère plus à la paroi externe du tube.

Les particules en mouvement dans cette zone sont soumises aux forces du champ de la pression dans la section perpendiculaire à la direction du flux principal. Il en résulte la formation d'un écoulement dit secondaire dans le serpentin. Par suite de ce mouvement secondaire, la transmission de chaleur dans un serpentin tubulaire s'améliore et peut suivant JESCHKE s'exprimer par :

$$h_i = h_i^* \left( 1 + 3,54 \frac{d_i}{D_s} \right) \quad (2.11)$$

Où :  $h_i^*$ : coefficient de transmission pour les tubes droits on doit ici tenir compte du fait que le régime commence à devenir turbulent dans les serpentins pour des valeurs du chiffre de REYNOLDS plus élevées que dans les tubes droits

$$h_i^* = 3207,23 \frac{W}{\text{cm}^2}$$

d'où

$$h_i = 8151,70 \frac{W}{\text{cm}^2}$$

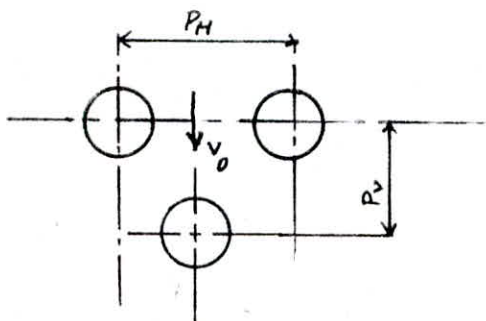
6°) Calcul du coefficient de transmission côté eau froide  
Pour déterminer le coefficient de transmission côté eau froide. Nous avons à faire à un écoulement presque perpendiculaire sur les éléments de l'échangeur, l'inclinaison des tubes d'un angle inférieur à  $10^\circ$  n'affecte

pas les valeurs du coefficient de transmission, la longueur de référence dans ce cas, est le diamètre extérieur.

- Disposition des tubes en quinconce.

$P_v$  = Pas vertical

$P_H$  = pas horizontal



- Calcul du nombre de REYNOLDS.

$$R_{ef} = \frac{V_{max} \cdot D_o}{\gamma_f} \quad (2.12)$$

Pour calculer la vitesse maximum, on doit tout d'abord trouver la vitesse d'écoulement basée sur la section libre dépassage du fluide. (calcul dans l'appartéto A).

$$A_{min} = l_t \cdot (P_H - D_o) \cdot 23,5 \cdot 10^{-3} \quad (2.13)$$

$l_t$  = longueur du tube par rangée.

Avec

$$l_t = 2,750 \text{ m}$$

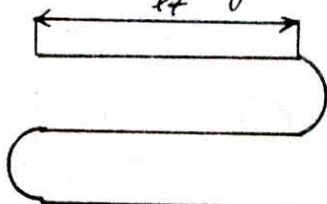
$$P_H = 34,71 \text{ mm}$$

$$D_o = 26,7 \text{ mm}$$

$$A_{min} = 0,518 \text{ m}^2$$

$v_0$  = vitesse basée sur la section minimum libre.

$$v = 5,593 \cdot 10^{-2} \text{ m/s}$$



- calcul de la vitesse maximum :  $V_{\max}$

Dans le cas d'une disposition en quinconce, si  $\frac{S_L}{S_t}$  est petit d'où  $\sqrt{S_L^2 + S_t^2} < S_t + \frac{D_o}{2}$

$$V_{\max} = V_0 \frac{S_L}{\sqrt{S_L^2 + S_t^2} - D_o} \quad (2.14)$$

Avec :

$$S_L = P_r = 24,03 \text{ mm}$$

$$S_t = \frac{P_H}{2} = 17,36 \text{ mm}$$

$$\frac{S_L}{S_t} = 1,38 \text{ mm}$$

$$V_{\max} = 0,33 \text{ m/s}$$

- Calcul du nombre de REYNOLDS.

$$Re_f = \frac{V_{\max} \cdot D_o}{\gamma_f}, \quad T_f = 27^\circ\text{C} \text{ d'où } \gamma_f = 0,8619 \cdot 10^{-6} \frac{\text{m}^2}{\text{s}}$$

On a alors :

$$Re_f = 10223$$

$Re_f > 6000$  d'où régime turbulent

- Détermination du nombre de NUSSELT.

On a pour  $Re_f \in (10^3 \div 10^5)$  la formule suivante d'après GRIMSON.

$$Nu_f = 0,41 \cdot Re_f^{0,6} \cdot Pr_f^{0,33} \cdot \left( \frac{Pr_f}{Pr_p} \right)^{0,25} \cdot \varepsilon_s \quad (2.15)$$

L'indice  $P$ , pour une évaluation à la température de la paroi.

$$T_p = \frac{1}{2} (T_{c_1} + T_{c_2})$$

$$T_f = 27^\circ C$$

$$\varepsilon_s = \left( \frac{P_H}{P_V} \right)^{1/6} \quad \text{pour } P_H/P_V < 2$$

Les tables nous donnent les valeurs suivantes :

$$P_{f_f} = 5,90$$

$$v_f = 0,8619 \cdot 10^{-6} \text{ m}^2/\text{s}$$

$$T_p = 40^\circ C \quad \text{d'où : } P_{p_p} = 4,35$$

$$N_{v_f} = 214,44$$

- coefficient d'échange côté eau froide

$$h_f = \frac{N_{v_f} \cdot \lambda_f}{D_0} \quad \text{Avec } \lambda_f = 0,6082 \frac{\text{W}}{\text{g.m}}$$

$$h_f = 4884,7 \frac{\text{W}}{\text{g.m}^2}$$

-  $h_f, h_c, k$  étant connus, on peut calculer le coefficient global de transfert. En tenant compte de la résistance thermique côté eau chaude dans les tubes.  $R_{se} = 2 \cdot 10^{-6} (\text{m}^2 \cdot ^\circ \text{C} / \text{W})$

On ne fait pas intervenir la résistance thermique à l'extérieur des tubes, car ils sont protégés contre la corrosion.

$$U = \left[ \frac{r_e}{r_i} \cdot \frac{1}{h_e} + r_e \cdot \frac{\log \frac{r_e}{r_i}}{k} + \frac{1}{h_f} + R_{se} \right]^{-1} \quad (2.16)$$

les calculs en fin de compte nous donnent une surface d'échange de  $92,88 \text{ m}^2$ .

## CHAPITRE - III. - THEORIE DES TOURS DE REFROIDISSEMENT HUMIDES

### III. 1 : Principe.

Le principe physique est l'évaporation de l'eau au contact de l'air.

### III. 2 : Circulation des fluides air/eau.

L'eau et l'air peuvent circuler :

- En courants parallèles.
- En courants croisés.
- A contre-courant.

Dans la majeure partie des cas, l'eau s'écoulera par gravité le long de la surface de ruissellement, donc du haut vers le bas de la tour. Le chemin que prendra l'air sera fonction du type de circulation choisi, du type de ventilateur choisi.

Dans l'étude théorique générale qui suit, l'eau et l'air circulent à contre-courant. C'est le cas le plus efficace, car la vitesse relative des deux fluides est la plus forte, donc l'échange est meilleur, l'écart de température est également le plus fort.

### III. 3. Etude théorique.

L'étude qui suit est basé sur la synthèse des travaux effectués par G. RIGOT. [3].

### 3.1. Bilan thermique d'une tour à ruissellement.

La chaleur entrant par le sommet de la tour à ruissellement avec l'eau froide (comme c'est indiqué sur le schéma de la figure 6) est :

$$Q_1 = G_{W_1} \cdot T_{W_1} \cdot C_p \quad (3.1)$$

La chaleur entrant avec l'eau d'appoint sera :

$$\Delta Q = M_{W_1}^2 \cdot (T_{ap} - T_{W_2}) \cdot C_p \quad (3.2)$$

$T_{ap}$  = température de l'eau d'appoint

La chaleur sortant par le bas de la tour sera :

$$Q_2 = M_{W_2} \cdot T_{W_2} \cdot C_p \quad (3.3)$$

On a :

$$M_{W_1} - M_{W_2} = \Delta M_{W_1}^2 \quad (3.4)$$

Autrement dit, la différence d'énergie entre le débit d'eau entrant au sommet de la tour et celui récupéré dans le bassin correspond à l'évaporation compensée par l'eau d'appoint  $\Delta M_{W_1}^2$ .

### 3.2. Équations théoriques

Le système est décrit en figure 6.

Le volume de la batterie formant surface de ruissellement est  $V_0$ , la section de passage brut de l'air et de l'eau est  $S_0$  et la hauteur de la batterie est égale à  $H_0$ .

$$V_0 = S_0 \cdot H \quad (3.5)$$

$$dV_0 = S_0 \cdot dH$$

La surface d'échange thermique est supposée identique et égale à  $S_e$ .

Posons :  $a = S_e / V_0$  (3.5)

$$S_e = a V_0 = a S_o H$$

$$dS_e = a dV_0 = a S_o dh$$

a) Équation de la continuité pour l'eau.

L'eau qui s'évapore enrichit l'humidité absolue de l'air ; do-

$$(M_w - M_{w_2}) = M_a \cdot (x - x_s)$$

$$dM_w = M_a \cdot dx \quad (3.7)$$

Et enfin .

$$M_{w_1} - M_{w_2} = M_a \cdot (x_1 - x_2) \quad (3.8)$$

b) Équation de la conservation d'énergie.

Selon le premier principe de la thermodynamique en absence de travail on peut écrire que la chaleur cédée par l'eau est récupérée par l'air ; donc donc :

$$M_a \cdot dI = M_w \cdot C_{pw} \cdot dT_w \xrightarrow{\text{d'où}} \frac{dI}{dT_w} = \frac{M_w}{M_a} \cdot C_{pw} \quad (3.9)$$

Cette équation est l'équation fondamentale des tours de refroidissement ainsi que tous les appareils fonctionnent selon le même principe où l'eau et l'air sont en contact direct. Par intégration du haut au bas de la tour entre 1 et 2 on a

$$\frac{I_2 - I_1}{T_{w_1} - T_{w_2}} = \frac{M_w}{M_a} \cdot C_{pw} \quad (3.10)$$

Puisque le terme  $\frac{M_w}{M_a} \cdot C_{pw}$  est une constante.

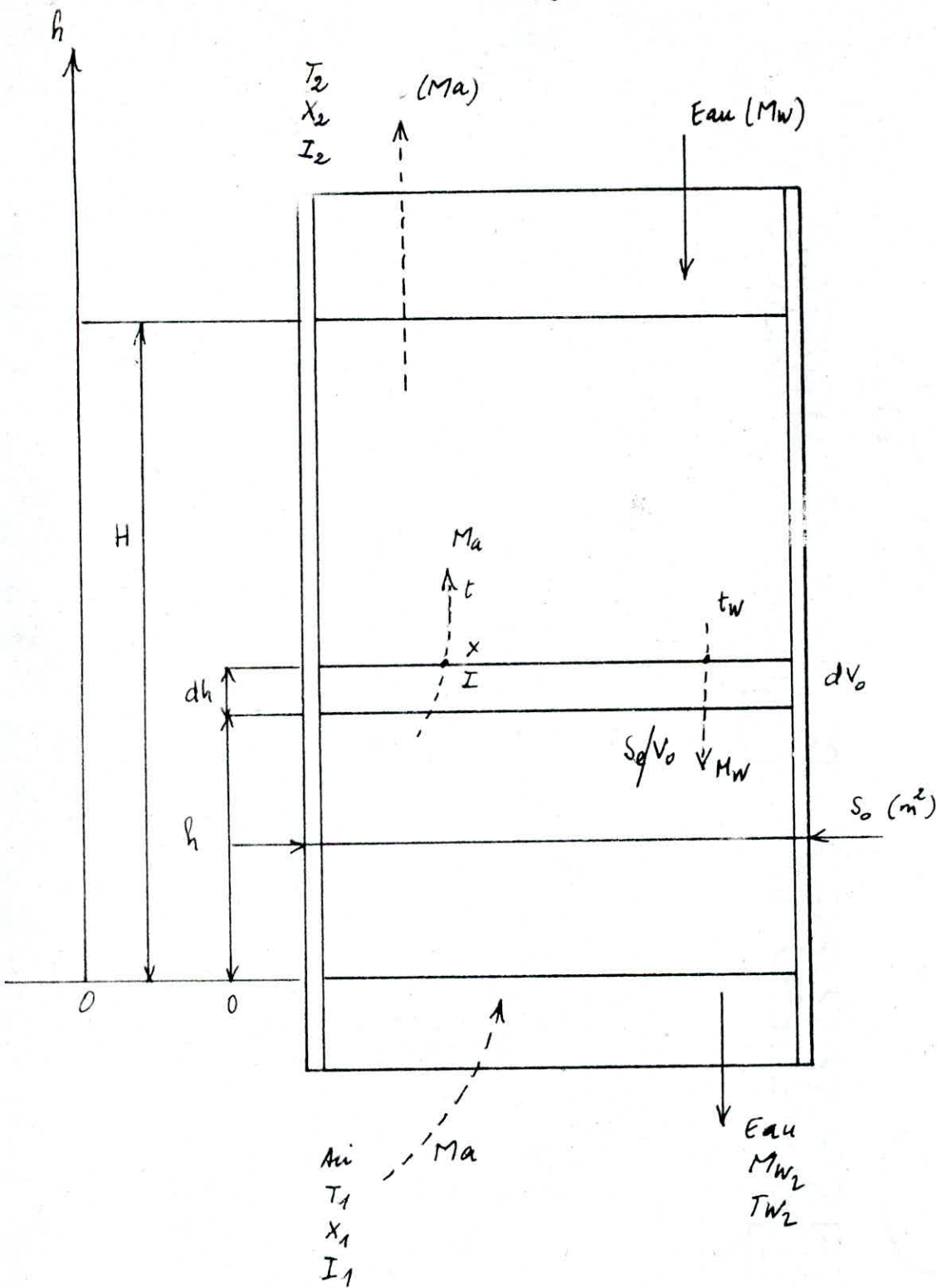


Fig. 6: Tour théorique à contre-courant.

c) Quantité d'air nécessaire à la refroidissement.

$$M_a = M_w \cdot C_{pw} \cdot \frac{T_{w_1} - T_{w_2}}{I_2 - I_1} \quad (3.11)$$

où :  $M_a$  représente le débit massique de l'air nécessaire au refroidissement pour l'écart de température donné.

### 3.3 Caractéristiques de l'air à l'entrée de la tour.

- Température humide =  $T_{h_1} = 22^\circ\text{C}$ .
- Humidité relative =  $H_1 = 50\%$ .
- Température sèche =  $T_s = 30^\circ\text{C}$ .

La valeur de la température sèche a été obtenue à partir du diagramme de l'air humide à partir de la température humide de l'air et son degré d'humidité relative.

L'humidité absolue est définie par le rapport de la masse de vapeur d'eau à la masse de l'air sec.

$$\chi = \frac{m_a}{m_b}$$

Sachant que  $m_a = m_a \cdot m_a = \frac{P_a \cdot V}{R \cdot T} \cdot m_a$

et  $m_b = m_b \cdot m_b = \frac{P_b \cdot V}{R \cdot T} \cdot m_b$

le rapport des deux masses donne :

$$\frac{m_a}{m_b} \cdot \frac{P_a}{P_b} = \frac{18}{29} \cdot \frac{P_a}{P_b} = 0,622 \cdot \frac{P_a}{P_b}$$

D'après la loi de DALTON, on a :

$$P_f = P_a + P_b$$

$$x = 0,622 \cdot \frac{P_a}{P_t - P_a} \quad (3.12)$$

L'humidité relative est définie comme le rapport de la pression partielle de la vapeur à la pression de saturation correspondant à la température donnée.

$$H_r = \frac{P_a}{P_s} \quad (3.13)$$

En remplaçant la pression  $P_a$  par l'expression de l'équation (3.13) on a :

$$x = 0,622 \cdot \frac{H_r \cdot P_s}{P_t - H_r \cdot P_s} \quad (3.14)$$

où :

$P_t$  = est la pression totale

$P_s$  = est la pression partielle de la vapeur à saturation.

Le tableau - 3 - nous donne  $P_{s_i}$  à la température de saturation.  $30^\circ C$ .

$$P_{s_i} = 31,824 \text{ mm Hg}$$

d'où  $x_i = 0,622 \cdot \frac{950 \cdot 31,824}{960 - 0,50 \cdot 31,824}$

$$x_i = 1,33 \cdot 10^{-2} (\text{kg d'eau / kg d'air sec})$$

- Enthalpie de l'air I.

La valeur de l'enthalpie de l'air humide est :

$$I = C_p_a^V \cdot T + L_v \cdot x \quad (3.15)$$

où :  $C_p_a^V = (C_p_a + C_p_v \cdot x)$

Avec :  $C_p^v$ : chaleur spécifique de l'air humide .

$C_p_a$  : chaleur spécifique de la vapeur d'eau .

$L_v$  : Chaleur latente de vaporisation de l'eau .

$$C_p_a = 0,24 \text{ kcal/kg}^\circ\text{C}$$

$$C_p_v = 0,46 \text{ kcal/kg}^\circ\text{C}$$

$$C_p_w = 1 \text{ kcal/kg}^\circ\text{C}$$

$$I = C_p_a \cdot T + C_p_v \cdot X \cdot T + L_v \cdot X$$

$$I = C_p_a \cdot T + X \cdot (C_p_v T + L_v) \quad (3.16)$$

d'où l'on peut tirer la valeur de l'enthalpie de l'air à l'entrée .

$$I_1 = C_p_a \cdot T_{a1} + X_1 \cdot (C_p_v \cdot T_{a1} + L_v)$$

$$\text{d'où l'on a : } I_1 = 0,24 \cdot 30 + 1,33 \cdot 10^{-2} \cdot (0,46 \cdot 30 + 597,7)$$

$$I_1 = 15,53 \text{ (kcal/kg d'air sec)}.$$

- Température humide et sèche .

La température humide est la température atteinte par l'air sec lorsqu'il devient saturé au contact de l'eau .

Considérons une goutte de liquide immergée dans un courant rapide de mélange air - vapeur (voir figure 6) .

Si initialement la température du liquide est supérieure à celle du point de rosée de l'air , la pression de vapeur du liquide à la surface de la goutte sera plus grande que la pression partielle de la vapeur de l'air .

Le liquide va donc s'évaporer et diffuser dans

La chaleur latente requise pour l'évaporation sera prise en premier lieu dans la chaleur sensible de la goutte qui sera refroidie. Or que la température du liquide devient inférieure à la température sèche de l'air, l'écoulement de la chaleur se fera du gaz vers le liquide. Eventuellement le taux de quantité de chaleur qui passe du gaz au liquide sera égal à la quantité de chaleur nécessaire à l'évaporation, et ainsi la température du liquide reste constante et assez basse en valeur; et est la température du bulbe humide. L'approche est la différence de température entre celle de l'eau sortant de la tour et la température humide de l'air entrant.

$$\text{Approche} = T_{W_1} - T_{H_2}$$

Dans le cas présent, Approche = 5°C

3.4. Caractéristiques de l'air à la sortie de la tour  
D'après l'équation (3.10) on a :

$$\frac{T_2 - I_1}{T_{W_1} - T_{W_2}} = \frac{M_W}{M_A} \cdot C_{P_W}$$

On remarque que si le temps de contact entre l'eau et l'air est infini (Surface de ruissellement infini), l'air sortira de la tour saturé à la température d'entrée de l'eau, soit  $T_{W_1}$ .

On aura donc :

$$\left( \frac{M_w}{M_a} \cdot c_{Pw} \right)_{\max} = \left( \frac{I_2(ST_{W_1}) - I_1}{T_{W_1} - T_{W_2}} \right) \quad (3.17)$$

L'humidité absolue est donnée par l'équation (3.14)

$$x_2 = 0,622 \cdot \frac{Hr.P_s}{P_t - Hr.P_s}$$

$$ST_{W_1} = 36,58^\circ C$$

$$P_s = 46,015 \text{ (mmHg)}$$

$$x_2 = 0,622 \cdot \frac{1 \cdot 46,015}{760 - 1 \cdot 46,015}$$

$$x_2 = 4,009 \cdot 10^{-2} \text{ (kg d'eau/kg d'air sec)}$$

- calcul de l'enthalpie :

$$I_2 = c_{P_a} \cdot T_{W_1} + x_2 (c_{Pv} \cdot T_{W_1} + L_v)$$

$$I_2 = 0,24 \cdot 36,58 + 4,009 \cdot 10^{-2} (0,46 \cdot 36,58 + 597,7)$$

$$\text{d'où } I_2 = 33,42 \text{ (kcal/kg d'air sec)}.$$

#### TABLEAU RECAPITULATIF

| Caractéristique | T <sub>a</sub> (°C) | Hr % | P <sub>s</sub> (mmHg) | x (kg d'eau/kg d'air sec) | Kcal/kg d'air sec |
|-----------------|---------------------|------|-----------------------|---------------------------|-------------------|
| Entrée          | 30                  | 50   | 31,824                | $1,33 \cdot 10^{-2}$      | 15,33             |
| Sortie          | 36,58               | 100  | 46,015                | $4,009 \cdot 10^{-2}$     | 33,42             |

Tableau 4 : caractéristiques de l'air

3.5 : calcul de la droite de fonctionnement.

Celle-ci est représentée sur la figure 7.

Pour calculer l'enthalpie de l'air à la sortie de la sortie, on avait supposé que ;  $T_{q_2} = ST_{W_1}$  ce qui donne :

$$\left( \frac{M_w}{M_a} \cdot c_{pw} \right)_{\text{max}} = \frac{I_2 \cdot S_{TW_1} - I_1}{T_{W_1} - T_{W_2}} = \operatorname{tg} q_{\text{max}}$$

avec  $c_{pw} = 1 \text{ kcal/kg}^{\circ}\text{C}$

et  $M_w$  sensiblement constant.

$$A \cdot \operatorname{tg} q_{\text{max}} = \operatorname{tg} q \quad (3.18)$$

$$A \cdot \left( \frac{M_w}{M_a} \right)_{\text{max}} = \frac{M_w}{M_a} \quad (3.19)$$

La valeur du coefficient A est généralement comprise entre ( $2/3$  et  $3/4$ ) : Elle est naturellement, toujours inférieur à l'unité. La valeur de A choisie est  $3/4$ , soit la limite supérieure étant donné que la longueur des tubes compense la hauteur faible de la batterie, de même que la disposition des tubes qui permet d'avoir une grande surface de contact et d'échange entre l'eau et l'air. La méthode choisie est une méthode approchée, puisque ces résultats devraient être vérifiés par l'expérience et corrigés par une bonne utilisation et une efficacité convenable. La pente de cette droite est obtenue à partir de l'équation (3.18). Pour le calcul (voir appendice B).

d'après les calculs on trouve une pente d'angle  $\varphi = 54,8^\circ$

### 3.6 Représentation graphique de la courbe d'équilibre et de la ligne opératoire .

On trace sur un même graphique en coordonnées  $(I, T_w)$  la droite opératoire et la courbe d'équilibre . La ligne opératoire correspond aux conditions d'entrée et de sortie de l'air et de l'eau .

la pente déjà calculée ( $\operatorname{tg} \varphi = \frac{M_w}{M_a}$ ).

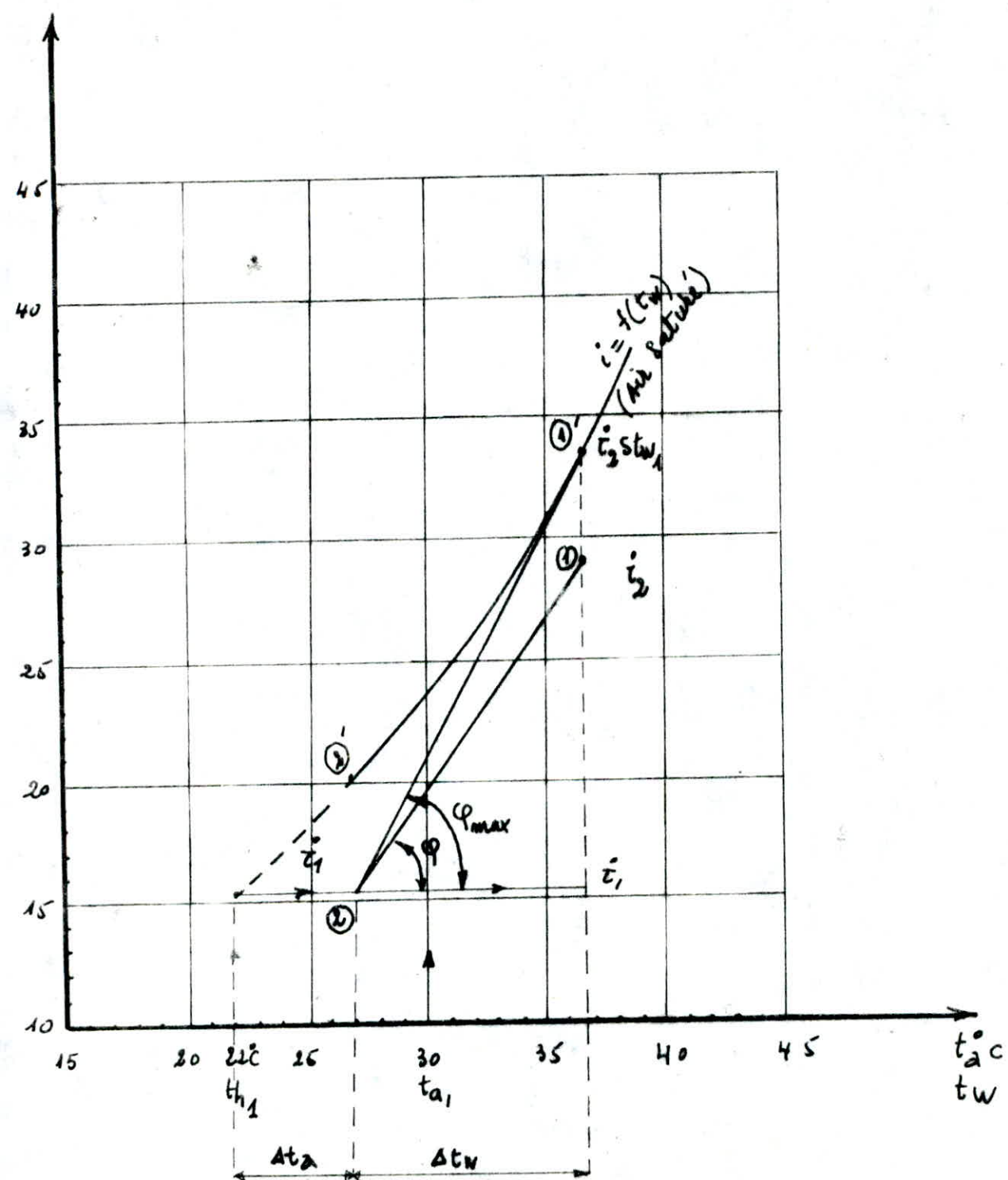
la courbe d'équilibre correspond à la courbe de saturation de l'air , représenté par  $I = f(T_w)$  . Les résultats sont donnés par le tableau suivant :

| $T_w$        | 27    | 30    | 33    | 35    | 36    | 36,58 |
|--------------|-------|-------|-------|-------|-------|-------|
| $I_{s, T_w}$ | 29,32 | 23,82 | 27,83 | 30,83 | 32,44 | 33,42 |

on en déduit la quantité d'air nécessaire égale à 73.521,13 kg/h et une quantité d'eau évaporée de 1969,6 kg/h dont un pourcentage par rapport à l'eau recirculée de 1,625% (voir appendice B).

Fig. 7 : Courbe d'équilibre et ligne opératoire

$i$  (kcal/kg)



[①, ②]. droite de fonctionnement

[①', ②]. droite de pente maximum

[①', ②']. ligne opératoire:  $i = f(t_w)$

### 3.7. Influence des variables opératoires .

Sachant que la tour de refroidissement utilise l'atmosphère comme milieu de refroidissement elle est sujette aussi aux variations dans l'atmosphère . Quand on opère à une température humide désignée , la tour produira l'eau à l'écart et à la température spécifiée dans la garantie . Cependant , quand la température humide chute , cela revient à augmenter le potentiel dans la tour .

Si la charge de chaleur dans la tour et les valeurs de  $M_w$  et  $M_a$  circulant à travers la tour sont toutes gardées constantes , l'eau subit encore le même nombre de degrés de refroidissement à l'intérieur , mais les températures entrante et sortante sont plus faibles que celles garanties . La tour de refroidissement est seulement capable d'enlever la même charge de chaleur de l'eau par réduction automatiquement de la différence de potentiel ; les températures de l'eau déclinant en conséquence avec la température humide .

Quand le réfrigérant reçoit l'eau à un taux constant qui est plus froid que celui pour lequel il était estimé , le fluide chaud est refroidit sous la température de sortie désirée .

### 3.8 Chute de pression dans la tour.

les principaux facteurs affectant la chute de pression dans la tour sont :

- La taille et la forme de la batterie (échangeur).
- Le débit d'air.
- Le nombre de REYNOLDS
- les différentes températures qui permettent de déterminer les viscosités dynamiques correspondantes.

La chute de pression à travers un faisceau tubulaire, pour un écoulement turbulent est donnée par la formule suivante (de JACOBS)

$$\Delta P = \frac{2 \cdot f' \cdot M_a^{(max)} \cdot N}{f} \cdot \left( \frac{\mu_w}{\mu_a} \right)^{0,16} \quad (3.20)$$

où :  $f'$ ; facteur de frottement empirique qui peut être déterminé d'après JACOBS par la formule suivante :

$$f' = \left( 0,25 + \frac{0,118}{\left( \frac{P_H - D_o}{D_o} \right)^{1,08}} \right) \cdot \left( \frac{M_a^{(air)} \cdot D_o}{\mu_a} \right) \quad (3.21)$$

Pour  $R_e > 1000$

ou ;  $M_s$  : Viscosité dynamique à la température du fluide d'écoulement (eau) qui entoure les tubes.

$\mu_a$  : Viscosité dynamique de l'air.

(pour le calcul voir appendice C)

- vitesse d'entrée de l'air, donnée par la formule suivante :

$$u = \frac{Ma}{S}$$

$$S = 2,87 \text{ m}^2$$

$$\text{d'où : } u = 6,11 \frac{\text{m}}{\text{s}}$$

Après calcul, on trouve une chute de pression de  $217,11 \frac{\text{N}}{\text{m}^2}$ .

REMARQUE :-

Cette valeur de la chute de pression est seulement approximative, étant donné que l'écoulement des deux fluides dans la tour est turbulent et que la relation linéaire entre la chute de pression et la vitesse de l'air, dans le système choisi l'air et l'eau en écoulement à contre-courant traversant l'échangeur, on ne peut alors qu'estimer les pertes de charges, en supposant que le fluide (eau) entoure carrément les tubes pour pouvoir appliquer la formule (3.20) qui doit être vérifiée par l'expérience. Ce qui est en pratique une tâche laborieuse.

Le calcul des pertes de charges dans la tour, nous permet de déterminer la puissance des ventilateurs.  
(voir appendice D).

La puissance s'exprime par la formule suivante :

$$P_v = \frac{M_{av} \cdot \Delta P}{\gamma_v} \quad (3.22)$$

### 3.9. Système de distribution d'eau.

L'eau sera distribuée uniformément sur la batterie d'échange. La herse de distribution comprendra, un collecteur et des rampes munies de buses spéciales en plastique utilisées par certains constructeurs, comme BALTIMORE par exemple, ayant un orifice de 19x8 (mm). Les branches et les buses seront maintenues en place par des bagues en caoutchouc permettant un démontage aisé pour nettoyage.

Les buses sont situées à 160 mm de la batterie. En supposant que l'arrosage se fait approximativement sur une portée de 200 mm, d'après la pression et la vitesse d'éjection au niveau de la buse (voir. Fig. 8).

Soit  $S_a$  la surface arrosée.

d'où :

$$S_a = \frac{\pi \cdot P^2}{2} = \frac{\pi (200)^2}{2} = 62.831,85 \text{ mm}^2$$

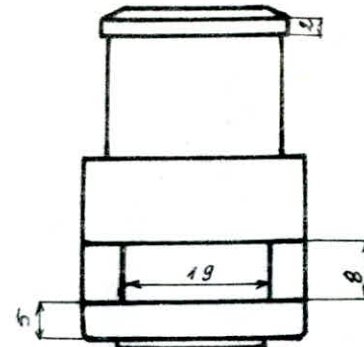
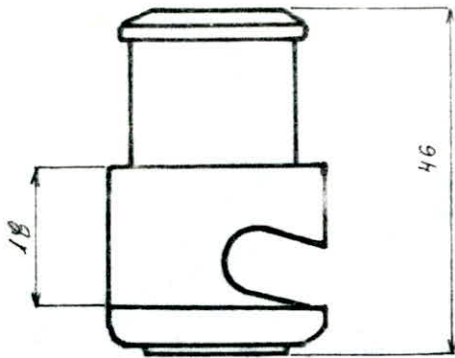
La surface de la batterie :  $S = 2,34 \text{ m}^2$

- Nombre de buses.

$$n_b = \frac{S}{S_a} = \frac{2,34}{0,062831} = 37,24 \quad (\text{on doit lire } 37)$$

Pour qu'il y'ait une bonne répartition de buses dans les rampes ; on a jugé utile de prendre 38 buses. L'écart entre deux buses successives est de 20 mm.

Fig. 8



BUSE DE  
PULVERISATION

Echelle  
1  
d'après  
B.A.C.

- Ecart entre un couple de buses.

$$1^{\circ}) \text{ Espace libre : } E_L = L_r - (2 \cdot d + 20)$$

où :  $d$  : Diamètre extérieur d'une buse.

$L_r$  : Longueur d'une rampe.

2<sup>e</sup>) Le nombre de buses dans chaque rampe est de 12 buses aux rampes extrêmes et 14 buses au milieu, ce qui permet d'avoir un arrosage uniforme.

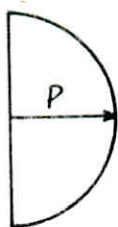
$$\text{On a donc : } E_L = 2800 - (2 \cdot 28 + 20) = 2824 \text{ mm}$$

L'écart entre un couple de buses est égal à :

$$E_L / 7 = 403,43 \text{ mm}$$

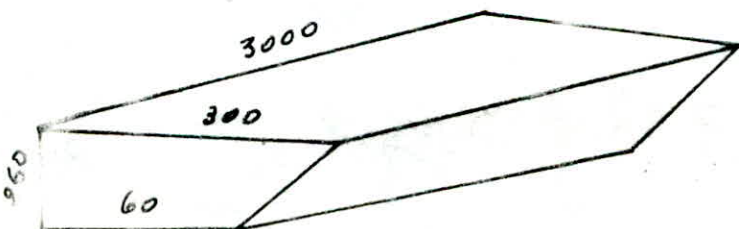
#### REMARQUE

Les couples de buses sont disposés en zig-zag



Surface arrosée par une buse

a) Un bain de récupération largement dimensionné simplifie le nettoyage intérieur de l'appareil.



Les éléments que contient le bassin ont été cités dans le chapitre I, I:4 selon des modèles fournis par certains constructeurs de tour de refroidissement.

### b) Choix de la pompe de recirculation.

Les pertes de charges dans le circuit fermé de ruisseaulement dans la tour se composent des pertes par frottement, des pertes locales dans la conduite et des pertes au niveau des buses. (Voir **Appendice E**).

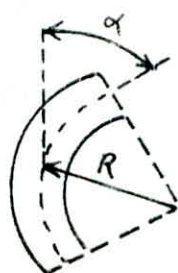
1) Les pertes de charges par frottement sont données par la formule suivante :

$$h_f = \zeta_f \cdot \frac{l}{d} \cdot \frac{V_m^2}{2g} \quad (3.23)$$

où :  $\zeta_f = \frac{0,32}{R_e^{0,25}}$  (Formule de BLASIUS) (3.24)

2) Les pertes de charges locales : celles-ci sont exprimées par la relation suivante :

$$h_c = \zeta_c \cdot \frac{V_m^2}{2g}$$



Dans les pertes de charges locales, le calcul du coefficient des pertes de charges locales tient compte du rapport du rayon

de courbure du coude et du diamètre de la conduite  $R/D$ .

d'où  $\xi_c = 0,051 + 0,19 \frac{d}{R}$  pour  $\alpha = 90^\circ$   
et  $\frac{R}{d} \geq 1$  (3.25)

Pour un angle différent de  $90^\circ$  le coefficient doit être multiplié par un coefficient de correction correspondant à l'angle choisi. Donc pour  $\alpha = 30^\circ$  il est égal à 0,4 pour un coude arrondi.

d'où :  $\xi_c = \xi_{c_1} + \xi_{c_2}$

$$\alpha = 90^\circ \Rightarrow \frac{R}{d} = \frac{0,130}{0,100} = 1,30$$

$$\xi_{c_1} = 3 \left( 0,051 + 0,19 \cdot \frac{0,1}{0,160} \right) = 0,59$$

$$\alpha = 30^\circ \Rightarrow \frac{R}{d} = \frac{0,170}{0,100} = 1,70$$

$$\xi_{c_2}' = 2 \left( 0,051 + 0,19 \cdot \frac{0,1}{0,170} \right) = 0,33$$

d'où l'on tire le coefficient des pertes de charges locales corrigé :

$$\xi_{c_2} = \xi_{c_2}' \cdot 0,4 = 0,132$$

d'où :  $\xi_c = \xi_{c_1} + \xi_{c_2} = 0,132 + 0,59 = 0,722$

$$\xi_c = 0,722$$

- Evaluation des pertes de charges au niveau des buses.

Cela correspond à l'écoulement de l'eau à travers des orifices dans l'atmosphère. Ce cas est caractérisé par le fait qu'en cours de l'écoulement, toute l'énergie dont dispose le liquide se transforme, avec des pertes plus ou moins grandes, en énergie cinétique du jet libre. Ces pertes sont exprimées par la relation empirique :

$$h_b = \epsilon_b \cdot \frac{V_m^2}{2g} \quad (3.26)$$

où :  $\epsilon_b = \left(1 - \frac{S_1}{S_2}\right) \quad (3.27)$

Avec :  $S_2$  = Surface d'entrée de la buse  
 $S_1$  = Surface de l'orifice de sortie.

- Evaluation des pertes de charges au niveau du collecteur.

1°) Entrée (conduite dans le collecteur)

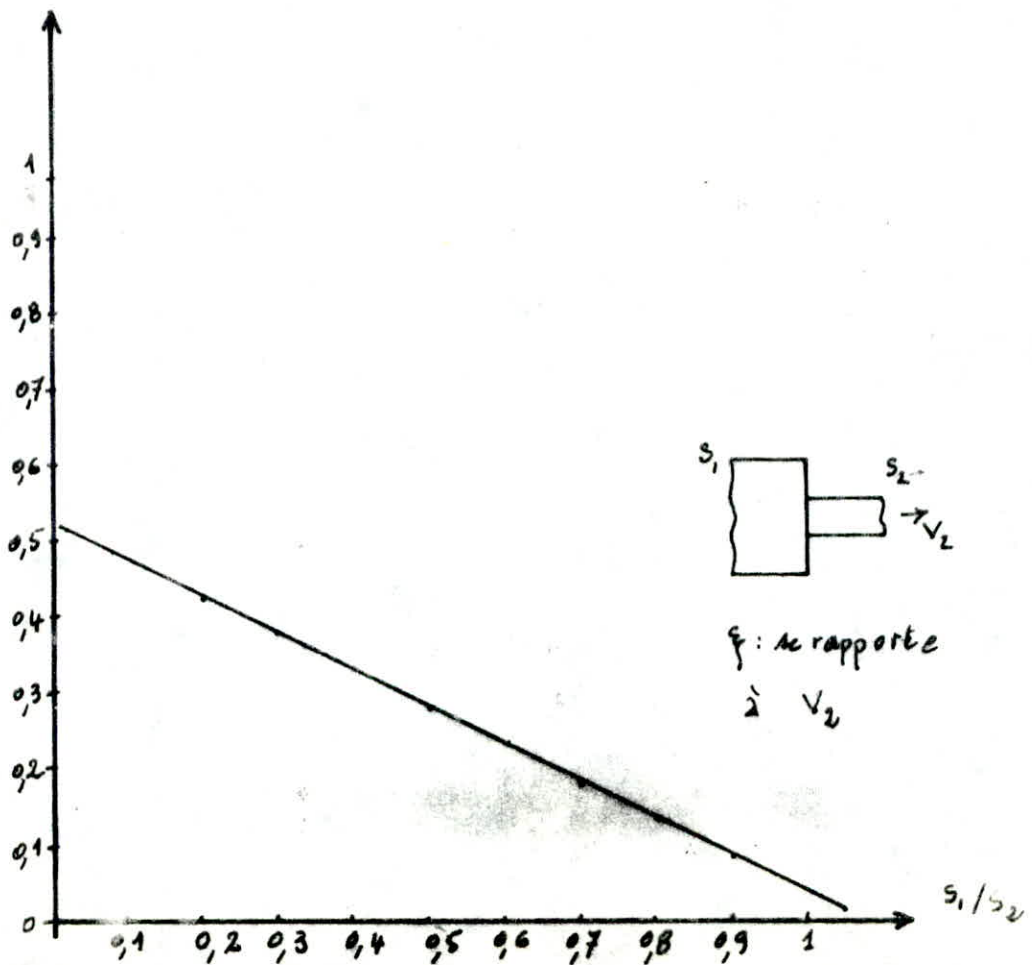
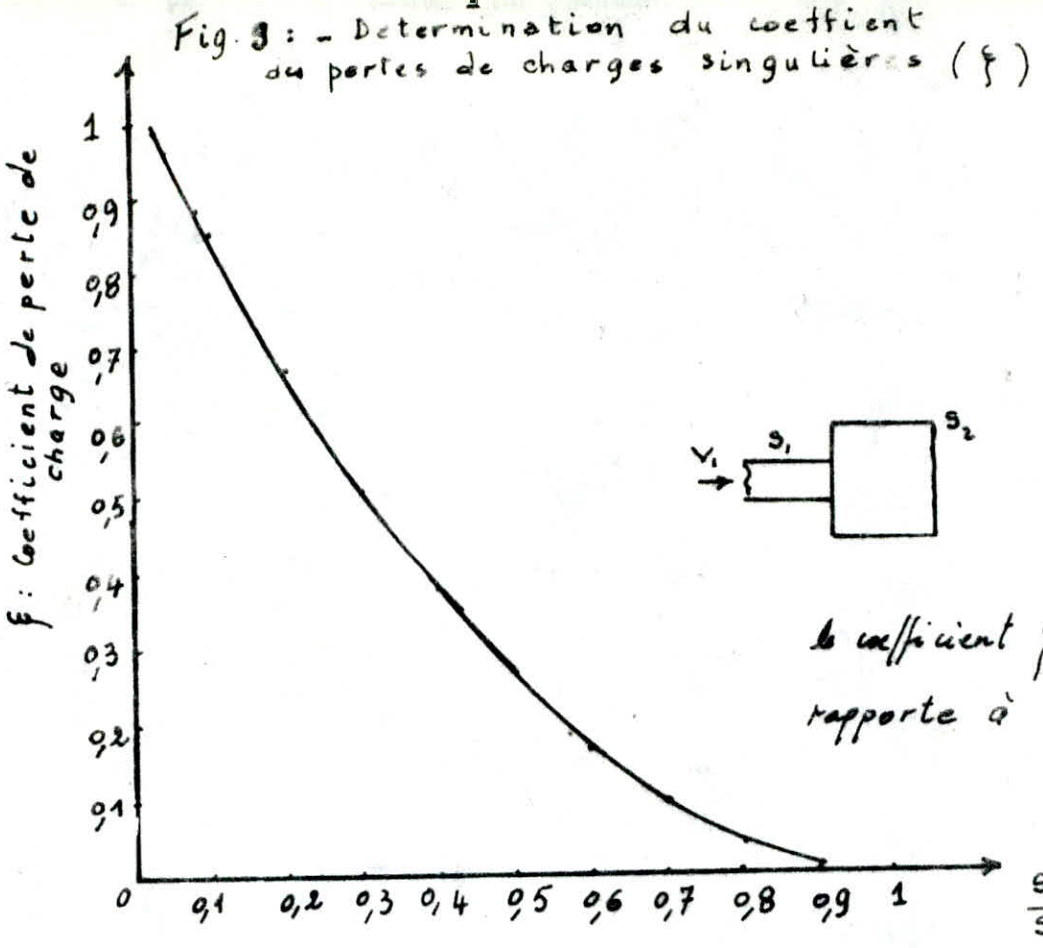
Ces pertes s'expriment par la formule suivante :

$$h_1 = \epsilon_1 \cdot \frac{V_m^2}{2} \quad (3.28)$$

où :  $\epsilon_1 = 0,96$  (Valeur tirée d'une table par extrapolation) voir figure 8

2°) Entrée (collecteur dans la rampe)

$$\epsilon_2 = 0,5 \quad (\text{voir figure 9})$$



La puissance de la pompe est exprimée par la formule suivante :

$$P = \frac{M_w \cdot L \cdot g \cdot H}{\gamma} \quad (3.29)$$

$$\text{avec } H = L + l_r + h_f + h_c + h_b + h_1 + h_2$$

le calcul nous donne une valeur de  $H$  égale à 7,13 (voir appendice E) ce qui nous donne une puissance dépensée par la pompe de 2,705 kW, avec un rendement supposé de 0,75.

### 3.10. Entretien de la tour et traitement de l'eau.

La tour choristie, à tirage forcé, nécessite un entretien périodique. On vérifiera périodiquement l'état des ventilateurs, du flotteur, du système de distribution d'eau et de l'échangeur.

Les poussières apportées par l'air, se déposent sous forme de boue au fond du bassin, on fera donc le nettoyage et la vidange périodiquement afin d'éliminer ces dépôts éventuels. Il faut noter que l'eau à la sortie du bassin passe par un tamis et un filtre, ce qui réduit la quantité des impuretés véhiculées dans le circuit.

Le filtre peut être aisément démonté pour nettoyer sa surface perforée. Il est nécessaire de traiter l'eau recyclée pour garantir la bonne conservation de l'appareillage du circuit fermé. Le nettoyage du serpentin se fait aisément en

en démontant les plaques des collecteurs d'entrée et de sortie de la batterie par pression ou au moyen de solvants.

|                 |                      |
|-----------------|----------------------|
| A               | 92,88 m <sup>2</sup> |
| L               | 2796,70 mm           |
| H               | 882,15 mm            |
| B               | 842,39 mm            |
| L <sub>t</sub>  | 2307 mm              |
| N <sub>n</sub>  | 16 haubées           |
| n <sub>rt</sub> | 8 simulations        |

Tableau . 5 : Dimensions de la batterie

# APPENDICES

## Appendice A

Données de base :

$$d_e = 26,7 \text{ mm}$$

$$d_i = 20,93 \text{ mm} \quad e = d_e - d_i$$

$$e = 5,77 \text{ mm}$$

$T_{C_1} = 50^\circ\text{C}$  Température d'entrée du fluide chaud

$T_{C_2} = 30^\circ\text{C}$  Température de sortie du fluide chaud

$Q = 1.000.000 \frac{\text{kcal}}{\text{h}}$  Quantité de chaleur échangée

$T_f = 27^\circ\text{C}$  Température d'entrée du fluide de refroidissement de la tour.

$G_f = 29 \frac{\text{l}}{\text{s}}$  Débit d'eau froide.

- Température de sortie du fluide froid

$$T_{f_2} = T_{f_1} + \frac{G_c \cdot C_p c}{G_f \cdot C_p f} (T_{C_1} - T_{C_2}) \quad (2,3)$$

$$T_{f_2} = 36,58^\circ\text{C}$$

- Ecart moyen logarithmique.

$$\Delta_m T = \frac{\Delta gT - \Delta pT}{\log \frac{\Delta gT}{\Delta pT}} = \frac{13,42 - 3}{\log \frac{13,42}{3}} = 7^\circ\text{C}$$

$$\Delta_m T = 7^\circ\text{C}$$

- Facteur de correction :  $F$

$$R = 0,87 \text{ et } S = 0,48 \quad \text{d'où } F = 0,77.$$

- Détermination de  $\dot{h}_i$  :

$$V = \frac{G_c}{S_t} = \frac{G_c}{N_f \cdot S}$$

$$s = \frac{\pi}{4} (d_i)^2 = 344,06 \text{ mm}^2$$

$$S_t = N_t \cdot s \text{ d'où } S_t = 16514,66 \text{ mm}^2$$

$$N_t = 48$$

$$v = 0,48 \text{ m/s.}$$

- Nombre de REYNOLDS.

$$Re = \frac{\rho v d_i}{\mu} = \frac{992,2 \cdot 0,48 \cdot 20,93 \cdot 10^{-3}}{653,3 \cdot 10^{-6}} \text{ d'où}$$

$$Re = 26701,46. \text{ Ecoulement turbulent.}$$

- Nombre de PRANDTL.

$$Pr = \frac{\nu}{\alpha} \quad \text{pour } T_f = 40^\circ \text{C on a : } Pr = 4,53.$$

- Nombre de NUSSELT.

$$Nu_d = 0,23 \cdot Re_d^{0,8} \cdot Pr^n$$

$$n = 0,3$$

$$Re = 26701,46 \quad \text{d'où} \quad Nu = 124,34.$$

$$Pr = 4,35$$

- Coefficient de transmission : côté eau chaude.

$$h_i^* = \lambda_c \frac{Nu}{d_i} \quad \text{ou} \quad \lambda_c = 0,540 \frac{W}{\text{C.m}}$$

$$\text{Donc } h_i^* = 3207,23 \frac{W}{\text{C.m}^2}.$$

Cette expression doit être corrigée pour des serpentins

d'où on a :

$$h_i = h_i^* \left( 1 + 3,54 \frac{D_s}{D_i} \right) \quad (2.11)$$

$$h_i = 8151,70 \frac{W}{\text{C.m}^2}$$

- Détermination du coefficient de transmission : côté eau froide.  
Dans ce cas, il faut déterminer la section minimale de passage de l'eau.

$$A_{\min} = l_f \cdot (P_H - D_o) \cdot 23,5 \cdot 10^{-3} \quad (2.13)$$

$$l_f = 3750 \text{ m}$$

$$P_H = 34,71 \text{ mm} \quad \text{d'où } A_{\min} = 0,518 \text{ m}^2$$

$$D_o = 26,7 \text{ mm}$$

$v_0$  : vitesse basé sur la section minimum libre.

$$v_0 = 5,598 \cdot 10^2 \text{ m/s.}$$

### 1) Nombre de REYNOLDS

$$Re = \frac{V_{\max} \cdot D_o}{\nu_f}$$

$$V_{\max} = V_0 \cdot \frac{S_L}{\sqrt{S_L^2 + S_t^2} - D_o} \quad (2.14)$$

avec :

$$P_V = S_L = 24,03 \text{ mm}$$

$$S_t = \frac{P_H}{2} = 17,36 \text{ mm}$$

$$\frac{S_L}{S_t} = 1,38 < 2 \quad \text{d'où :} \quad \sqrt{S_t^2 + S_L^2} < \frac{D_o}{2} + S_t$$

$$29,64 < 30,71.$$

Donc :  $V_{\max} = 0,33 \frac{\text{m}}{\text{s}}$

$$\text{d'où } Re = \frac{0,33 \cdot 26,7 \cdot 10^{-3}}{0,86 \cdot 19 \cdot 10^{-6}} = 10223$$

$Re = 10223 > 6000$  d'où Ecoulement turbulent

### 2) Nombre de NUSSELT.

$$Nu_f = 0,41 \cdot Re_f^{0,6} \cdot Pr_f^{0,33} \cdot \left( \frac{Pr_f}{Pr_p} \right)^{1/3} \cdot \epsilon_s \quad (2.15)$$

$$T_f = 27^\circ C$$

$$\varepsilon_A = (P_H/P_V)^{1/6} \quad \text{pour } P_H/P_V < 2$$

$$P_f = 5,90 \quad ; \quad \nu_f = 0,8619 \cdot 10^{-6} m^2/s.$$

$$T_p = 40^\circ C \quad \text{d'où} \quad P_{f,p} = 4,35.$$

d'où :

$$N_{uf} = 0,41 (10222)^{0,6} \cdot (5,90)^{0,83} \cdot (5,90/4,35)^{0,25} \cdot 1,06.$$

$$N_{uf} = 214,44$$

et finalement :  $h_f = \frac{N_{uf} \cdot \lambda_f}{D_0}$  avec  $\lambda_f = 0,6082 \frac{W}{\text{cm}^2 \text{K}}$

d'où  $h_f = 4884,7 \frac{W}{\text{cm}^2 \text{K}}$

$h_f$ ,  $h_c$ ,  $k$  étant connus on peut déterminer le coefficient global de transfert.

$$U = \left( \frac{r_e}{r_i} \cdot \frac{1}{h_e} + r_e \cdot \frac{\log \frac{r_e}{r_i}}{k} + \frac{1}{h_f} + R_{se} \right)^{-1} \quad (2.16)$$

$$U = \left[ \frac{26,7}{20,93} \cdot \frac{1}{8151,7} + 26,7 \cdot \frac{\log \frac{26,7}{20,93}}{2,45,02} + \frac{1}{4884,7} + 2 \cdot 10^{-4} \right]^{-1}$$

d'où :

$$U = 2332,6 \frac{W}{\text{cm}^2 \text{K}}$$

- Surface d'échange.

$$A = \frac{Q}{U \cdot F \cdot S_m T} = \frac{1.000.000}{2008,92 \cdot 0,77 \cdot 6,96} = 92,88 \text{ m}^2$$

$$A = 92,88 \text{ m}^2.$$

- Surface d'échange par tube .

$$A_t = \frac{A}{n_t} = 1,94 \text{ m}^2$$

- Longueur totale d'un tube .

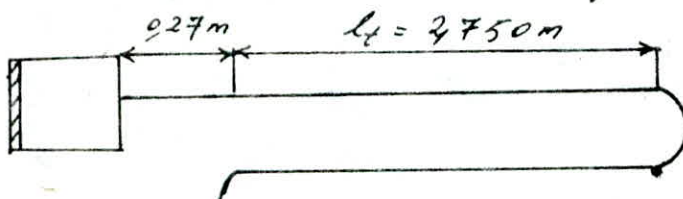
$$l_t = A_t / D_o = 23,07 \text{ m}$$

- Nombre de rangées par tube ( estimations ) .

$$n_{rt} = \frac{l_t}{l_f} = 8,39 , \text{ on doit lire } (n_{rt} = 8)$$

- Nombre de rangées de la batterie .

$$N_r = n_{rt} \cdot 2 = 16 \text{ rangées .}$$



- Hauteur de la batterie .

les tubes de l'échangeur sont inclinés de 2% par rapport à l'horizontale . d'où une élévation de 55 mm .

$$H = 15 P_v + D_o + 9.55$$

$$H = 15(24,03) + 26,7 + 9.55 = 882,15 \text{ mm}$$

c'est ce qui correspond à la hauteur active dans une tour de refroidissement d'eau avec garnissage .

- Dimensions de l'échangeur .

$$H = 882,15 \text{ mm}$$

Hauteur de la batterie

$$B = 23,5 P_H + D_o$$

Largeur de la batterie

$$B = 842,39 \text{ mm}$$

$$L = l_t + D_o = 2750 + 26,7 = 2776,70 \text{ mm}$$

$$L = 2776,70 \text{ mm}$$

Longeur de la batterie

## APPENDICE . B

- Calcul de la droite de fonctionnement

$$\operatorname{tg} \varphi = A \cdot \operatorname{tg} \varphi_{\max} = \frac{3}{4} \cdot \operatorname{tg} \varphi_{\max}$$

$$\text{où : } \operatorname{tg} \varphi_{\max} = \frac{T_{2 \text{ stw}} - T_1}{T_{W_1} - T_{W_2}} = \frac{33,42 - 15,33}{36,58 - 27} = 1,89$$

$$\text{d'où on tire la valeur de } \operatorname{tg} \varphi = \frac{3}{4} \cdot 1,89 = 1,42$$

$$\text{donc : } \varphi = 54,80^\circ$$

- Calcul du débit d'air nécessaire

D'après l'équation (3.19), on a :

$$\frac{M_w}{M_a} = \operatorname{tg} \varphi \quad \text{d'où} \quad M_a = \frac{M_w}{\operatorname{tg} \varphi}$$

$$M_a = \frac{104.400}{1,42} = 73.521,13 \text{ (kg/h)}$$

- Quantité d'eau évaporée

L'équation donnant la conservation des masses (3.8) nous donne la quantité d'eau évaporée au cours du processus de refroidissement ; on a donc :

$$M_{W_1} - M_{W_2} = M_a \cdot (x_2 - x_1)$$

$$\Delta M_{W_1}^2 = 73521,13 \cdot (4,009 - 1,33) \cdot 10^{-2}$$

$$\Delta M_{W_1}^2 = 1969,6 \text{ kg/h.}$$

$$\text{d'où } \% \Delta M_{W_1}^2 = \frac{1696,6}{104.400} = 1,625 \% \text{ pourcentage d'eau évaporée par rapport à l'eau reçue.}$$

- Chute de pression dans la tour.

1<sup>o</sup>) vitesse d'entrée de l'air :

$$u = \frac{M_a}{S}$$

$$S = 2,87 \text{ m}^2 \quad \xrightarrow{\text{d'où}} \quad u = 6,11 \frac{\text{m}}{\text{s}}$$

2<sup>o</sup>) Nombre de REYNOLDS .

$$R_e = \frac{\rho \cdot u \cdot D_0}{\mu_a}$$

avec :  $\mu_a = 18,7 \cdot 10^{-2} \text{ kg/m.s}$

$$\mu_w = 702,10^{-2} \text{ kg/m.s}$$

d'où  $R_e = \frac{1,165 \cdot 6,11 \cdot 26,7 \cdot 10^3}{18,7 \cdot 10^6}$

$$R_e = 10163 \quad \text{d'où } R_e > 1000$$

On peut maintenant calculer  $f'$ .

3<sup>o</sup>) Facteur de frottement .

$$f' = \left( 0,25 + \frac{0,118}{\left( \frac{34,71 - 26,7}{26,7} \right)^{1,08}} \right) \cdot 10220^{-0,16}$$

d'où :  $f' = 0,156$

Enfin on tire la valeur de  $\Delta P$  qui est égale à :

$$\Delta P = \frac{2 \cdot f' \cdot M_a^2 (max) \cdot N}{\rho} \cdot \left( \frac{\mu_w}{\mu_a} \right)^{0,14}$$

le terme  $\left( \frac{\mu_w}{\mu_a} \right)^{0,14}$  est négligé pour gaz.

d'où :  $\Delta P = \frac{2 \cdot 0,156 \cdot (1,165 \cdot 6,11)^2}{1,165} \cdot 16$

$$\Delta P = 217,11 \text{ (N/m}^2\text{)}$$

#### APPENDICE D :

- Puissance des ventilateurs.

Elle peut être calculer à l'aide de la formule suivante :

$$P_V = \frac{M_{av} \cdot \Delta P}{\eta_V}$$

où :  $\eta_V$  : Rendement des ventilateurs

$M_{av}$  : Débit volumique de l'air

$\Delta P$  : Chute de pression

Le rendement des ventilateurs a été estimé à 0,70

d'où :  $P_V = \frac{17,53 \cdot 217,11}{0,70} = 5437 \text{ W} = 5,437 \text{ KW}$

Avec un rendement de 0,60, la puissance du moteur sera

$$P_m = \frac{P_V}{\eta} = \frac{5,437}{0,60} = 9,06 \text{ KW}$$

## APPENDICE. E.

- Détermination des pertes de charges.

1<sup>e</sup>) Pertes de charges par frottement.

Elles s'expriment par la formule suivante :

$$h_f = \xi_f \cdot \frac{l}{d} \cdot \frac{V_m^2}{2g} \quad (3.23)$$

Pour cela il faut déterminer la vitesse linéaire moyenne,  $V_m$ .

$$V_m = \frac{4 \cdot M_w}{\pi d^2} = \frac{4 \cdot 0,029}{\pi (0,1)^2}$$

$$\text{d'où : } V_m = 3,69 \text{ m/s}.$$

- Nombre de REYNOLDS.

$$R_e = \frac{\rho \cdot V_m \cdot d}{\mu_w} = \frac{10^3 \cdot 3,69 \cdot 0,1}{670 \cdot 10^{-6}}$$

d'où :

$$R_e = 550 \cdot 746$$

- Coefficient des pertes de charges exprimé par la formule  
(3.24)

$$\xi_f = \frac{0,32}{(550 \cdot 746)^{0,25}} = 1,175 \cdot 10^{-2}$$

La longueur de la conduite est de (3m) environ :

$l = 3 \text{ m}$ , avec 3 coude à  $90^\circ$  et 2 coude à  $30^\circ$  on a donc

$$h_f = 1,175 \cdot 10^{-2} \cdot \frac{3(3,69)^2}{0,1 \cdot 2 \cdot 9,81} = 0,24 \text{ m d'eau}$$

Ce qui équivaut à une différence de pression équivalente à :  $\Delta P = \rho \cdot g \cdot h_f = 10^3 \cdot 0,24 \cdot 9,81 = 2354 \text{ N/m}^2$ .

2<sup>e</sup>) Pertes de charges locales ; celles-ci sont exprimées par la relation empirique :

$$h_c = \epsilon_c \cdot \frac{V_m^2}{2 \cdot g}$$

pour  $\alpha = 90^\circ$  d'où  $\frac{R}{d} = \frac{0,130}{0,100} = 1,30$

$$\epsilon_{c_1} = 3 \left( 0,051 + 0,19 \cdot \frac{0,1}{0,130} \right) = 0,59.$$

pour  $\alpha = 30^\circ$  d'où  $\frac{R}{d} = \frac{0,170}{0,100} = 1,70$

$$\epsilon'_{c_2} = 2 \cdot \left( 0,051 + 0,19 \cdot \frac{0,1}{0,170} \right) = 0,33.$$

D'où l'on tire le coefficient des pertes de charges locales corrigé :

$$\epsilon_{c_2} = \epsilon'_{c_2} \cdot 0,4$$

$$\epsilon_{c_2} = 0,132$$

d'où :  $\epsilon_c = \epsilon_{c_1} + \epsilon_{c_2} = 0,132 + 0,59 = 0,722$

de là on peut tirer la valeur des pertes de charges locales

$$h_c = 0,722 \cdot \frac{3,69^2}{2 \cdot 9,81} = 0,50$$

Soit une différence de pression de :  $\Delta P = \rho \cdot g \cdot h_c$

$$\Delta P = 10^3 \cdot 0,500 \cdot 9,81 = 4905 \text{ N/m}^2$$

3<sup>e</sup>) Pertes de charges au niveau des buses. celles-ci sont exprimées par la relation empirique :

$$h_b = \epsilon_b \cdot \frac{V_m^2}{2 \cdot g} \quad (3.26)$$

avec :  $\xi_b = \left(1 - \frac{S_1}{S_2}\right)$

$$S_2 = \frac{\pi d^2}{4} = \frac{\pi (19)^2}{4} = 83,53 \text{ mm}^2$$

$$S_1 = 19 \cdot 8 = 152 \text{ mm}^2$$

d'où :  $\xi_b = \left(1 - \frac{152}{283,53}\right) = 0,230$

$$h_b = 0,23 \cdot \frac{3,69^2}{2 \cdot 9,81} = 0,160 \text{ m.c.e}$$

4°) Pertes de charges au niveau du collecteur

a)  $h_1 = \xi_1 \cdot \frac{V_m^2}{2}$

avec  $\xi_1 = 0,96$

$$V_m = 3,69 \text{ m/s} \quad \xrightarrow{\text{d'où}} \quad h_1 = 0,67 \text{ m.c.e}$$

$$D_r = 60 \text{ mm}$$

b)  $\xi_2 = 0,52$

d'où :  $h_2 = 0,36 \text{ m.c.e}$

Appendice F :

La puissance de la pompe est exprimée par la relation (3.29)

$$P = \frac{M_w \cdot L \cdot g \cdot H}{\eta}$$

où  $H = L + l_r + h_f + h_c + h_b + h_1 + h_2$

$$H = 3 + 2,20 + 0,24 + 0,50 + 0,160 + 0,67 + 0,36$$

$$H = 7,13 \text{ m}$$

Le rendement de la pompe estimé à 0,75 nous permet d'avoir une puissance dépensée de la pompe de :

$$P = \frac{29 \cdot 10^3 \cdot 10^3 \cdot 9,81 \cdot 7,13}{0,75} = 2704,55 \text{ W} \quad (3.29)$$

donc :  $P = 2705 \text{ KW}$ .

## CONCLUSION

Les résultats de cette étude de dimensionnement d'une tour de refroidissement humide sont résumés dans le tableau 5. On voit que la surface d'échange est un peu faible, donc un choix judicieux des paramètres et la correction du coefficient de transmission interne dans le cas des serpentins peut nous donner une valeur non excessive de la surface d'échange du serpentin ; ce qui conduit à un dimensionnement plus exact. Il aurait été souhaitable de faire l'expérience et vérifier les résultats trouvés, ce qui est en pratique une tâche laborieuse. Le calcul des chutes de pression dans la tour est seulement approximatif d'où le résultat peut influer sur le choix des ventilateurs et la puissance du tirage forcé.

Notre étude nous a donc permis de contribuer modestement à trouver une solution économique à l'utilisation de l'eau de refroidissement dans les sites qui se distinguent par une très faible disponibilité en eau.

TABLEAU - 1 - CONSTANTES PHYSIQUES DE L'EAU  
 Pression 1 atm ( D'après GREGORIG ) . [2]

| T   | $\rho$                         | $C_p$                             | $\lambda \cdot 10^2$            | $a \cdot 10^8$                | $\mu \cdot 10^6$               | $\sigma \cdot 10^4$         | $P_r$ |
|-----|--------------------------------|-----------------------------------|---------------------------------|-------------------------------|--------------------------------|-----------------------------|-------|
| °C  | $\frac{\text{kg}}{\text{m}^3}$ | $\frac{\text{kg}}{\text{kg.deg}}$ | $\frac{\text{W}}{\text{m.deg}}$ | $\frac{\text{m}^2}{\text{s}}$ | $\frac{\text{kg}}{\text{m.s}}$ | $\frac{\text{N}}{\text{m}}$ |       |
| 0   | 999,9                          | 4,212                             | 55,1                            | 13,1                          | 1788                           | 756,4                       | 13,67 |
| 10  | 999,7                          | 4,191                             | 57,4                            | 13,7                          | 1306                           | 744,6                       | 9,52  |
| 20  | 998,2                          | 4,183                             | 59,9                            | 14,3                          | 1004                           | 726,9                       | 7,02  |
| 30  | 995,7                          | 4,174                             | 61,8                            | 14,9                          | 804,5                          | 712,2                       | 5,42  |
| 40  | 992,2                          | 4,174                             | 63,5                            | 15,3                          | 653,3                          | 696,5                       | 4,31  |
| 50  | 988,1                          | 4,174                             | 64,8                            | 15,7                          | 549,4                          | 674,9                       | 3,54  |
| 60  | 983,2                          | 4,179                             | 65,9                            | 16,0                          | 469,9                          | 662,2                       | 2,98  |
| 70  | 977,8                          | 4,187                             | 66,8                            | 16,3                          | 406,1                          | 643,5                       | 2,55  |
| 80  | 971,8                          | 4,195                             | 67,4                            | 16,6                          | 355,1                          | 625,9                       | 2,21  |
| 90  | 965,3                          | 4,208                             | 68,0                            | 16,8                          | 314,9                          | 607,2                       | 1,95  |
| 100 | 958,4                          | 4,220                             | 68,3                            | 16,9                          | 282,5                          | 588,6                       | 1,75  |

[ ] : Référence.

TABLEAU - 2 - CONSTANTES PHYSIQUES DE L'AIR  
 Pression statique - (D'après GREGORIG) [2]

| $T$         | $\rho$           | $C_p$                     | $\lambda \cdot 10^2$    | $\ell \cdot 10^8$ | $\mu \cdot 10^6$       | $v \cdot 10^6$  | $Pr$  |
|-------------|------------------|---------------------------|-------------------------|-------------------|------------------------|-----------------|-------|
| $^{\circ}C$ | $\frac{kg}{m^3}$ | $\frac{Kg}{Kg \cdot deg}$ | $\frac{W}{m \cdot deg}$ | $\frac{m^2}{A}$   | $\frac{kg}{m \cdot s}$ | $\frac{m^2}{A}$ |       |
| 0           | 1,293            | 1,005                     | 2,44                    | 18,8              | 17,2                   | 13,28           | 0,707 |
| 10          | 1,247            | 1,005                     | 2,51                    | 20,0              | 17,6                   | 14,6            | 0,705 |
| 30          | 1,165            | 1,005                     | 2,67                    | 22,9              | 18,6                   | 16,00           | 0,701 |
| 50          | 1,093            | 1,005                     | 2,83                    | 25,7              | 19,6                   | 17,95           | 0,698 |
| 80          | 1,000            | 1,009                     | 3,05                    | 30,2              | 21,1                   | 21,09           | 0,692 |
| 100         | 0,946            | 1,009                     | 3,21                    | 33,6              | 21,9                   | 23,13           | 0,688 |
| 200         | 0,746            | 1,026                     | 3,93                    | 51,4              | 26,0                   | 34,85           | 0,680 |
| 300         | 0,615            | 1,047                     | 4,60                    | 71,6              | 29,7                   | 48,33           | 0,674 |
| 400         | 0,524            | 1,068                     | 5,21                    | 93,1              | 33,0                   | 63,09           | 0,678 |
| 500         | 0,456            | 1,093                     | 5,94                    | 115,3             | 36,2                   | 79,39           | 0,687 |
| 600         | 0,404            | 1,114                     | 6,22                    | 138,3             | 39,1                   | 96,89           | 0,699 |

[ ] : Référence

TABLEAU - 3 - PRESSION DE LA VAPEUR  
A SATURATION (d'après [5])

| $T$ [ $^{\circ}$ C] | $P_s$ [mm Hg] | $T$ [ $^{\circ}$ C] | $P_s$ [mm Hg] |
|---------------------|---------------|---------------------|---------------|
| 16                  | 13,644        | 29                  | 30,043        |
| 17                  | 14,530        | 30                  | 31,824        |
| 18                  | 15,477        | 31                  | 33,695        |
| 19                  | 16,477        | 32                  | 35,663        |
| 20                  | 17,535        | 33                  | 37,729        |
| 21                  | 18,650        | 34                  | 39,898        |
| 22                  | 19,287        | 35                  | 42,175        |
| 23                  | 21,078        | 36                  | 44,563        |
| 24                  | 22,377        | 37                  | 47,067        |
| 25                  | 23,756        | 38                  | 49,692        |
| 26                  | 25,209        | 39                  | 52,442        |
| 27                  | 26,739        | 40                  | 55,324        |
| 28                  | 28,349        |                     |               |

[ ]: Référence.

## REFERENCES

1. "Processus Heat transfert".  
KERN  
Mc GRAW-HILL book company, Newyork, 1968
2. Echangeurs de chaleur.  
GREGORIG  
Edition DUNOD, 1950
3. La transmission de la chaleur; (Tome I.)  
G.RIGOT  
T.F.F 1968
4. Refroidisseurs de fluides industriels de type V.  
(B.A.C); Revue technique . Mai 1979
5. Projet de fin d'étude  
A. SMATI  
ENP, Genie mecanique , Juin 1982
6. Cours de THQ (thermique) FEN 146.  
M' AIT ALI
7. Absorption, distillation and cooling towers  
W.S NORMAN  
Longmans 1962 .
8. Le calcul des pertes de charges  
A. BOUSSICAUD  
Edition DUNOD, 1976

PHO 2183 A.1

G. Mécanique

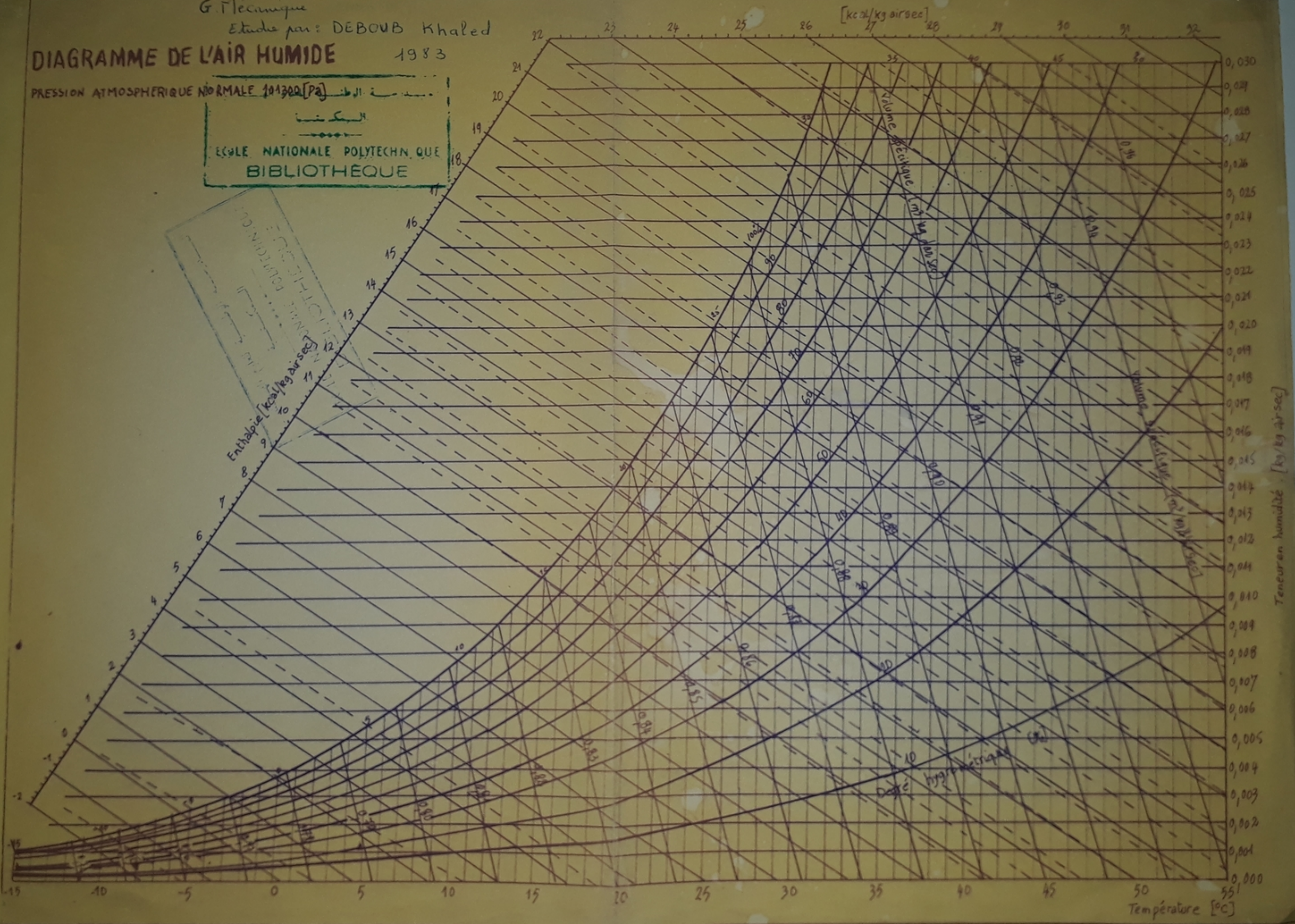
Etude par: DEBOUB Khalil

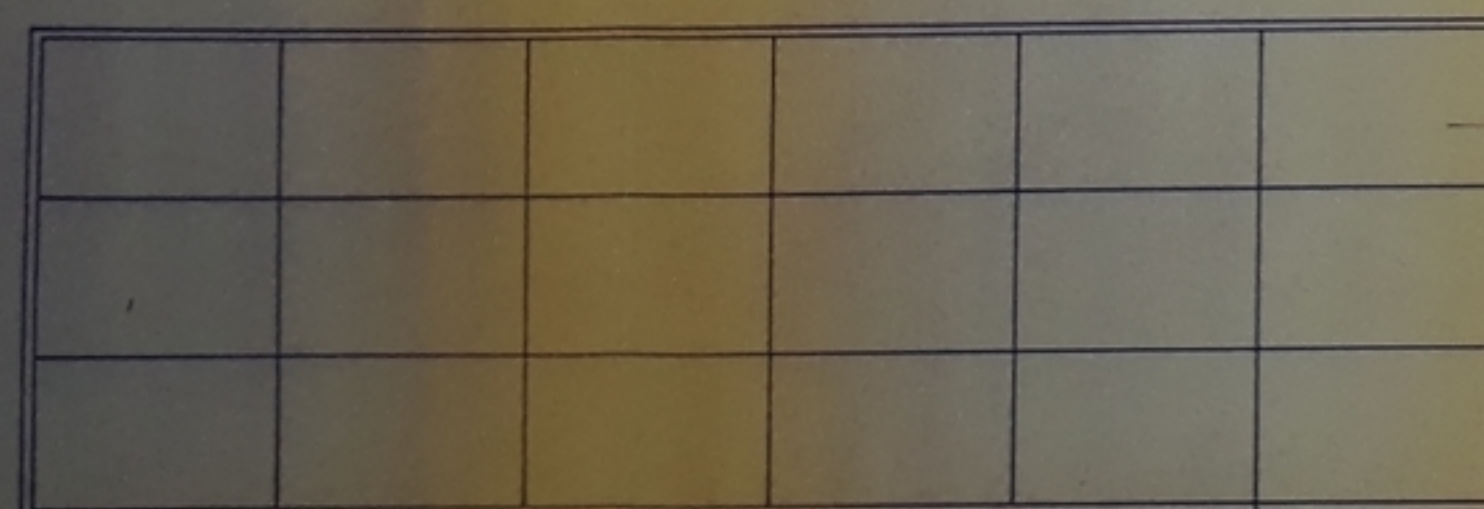
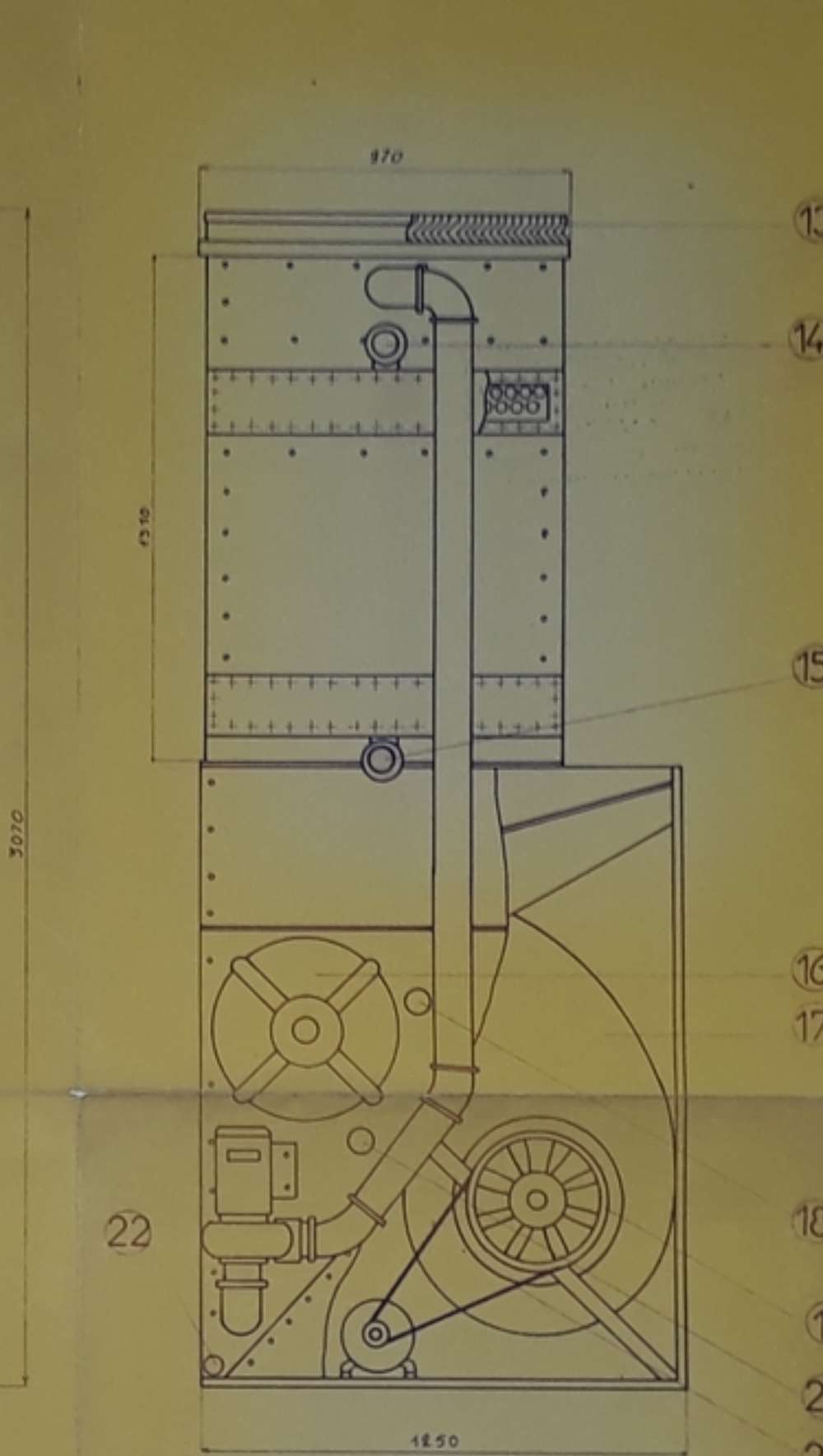
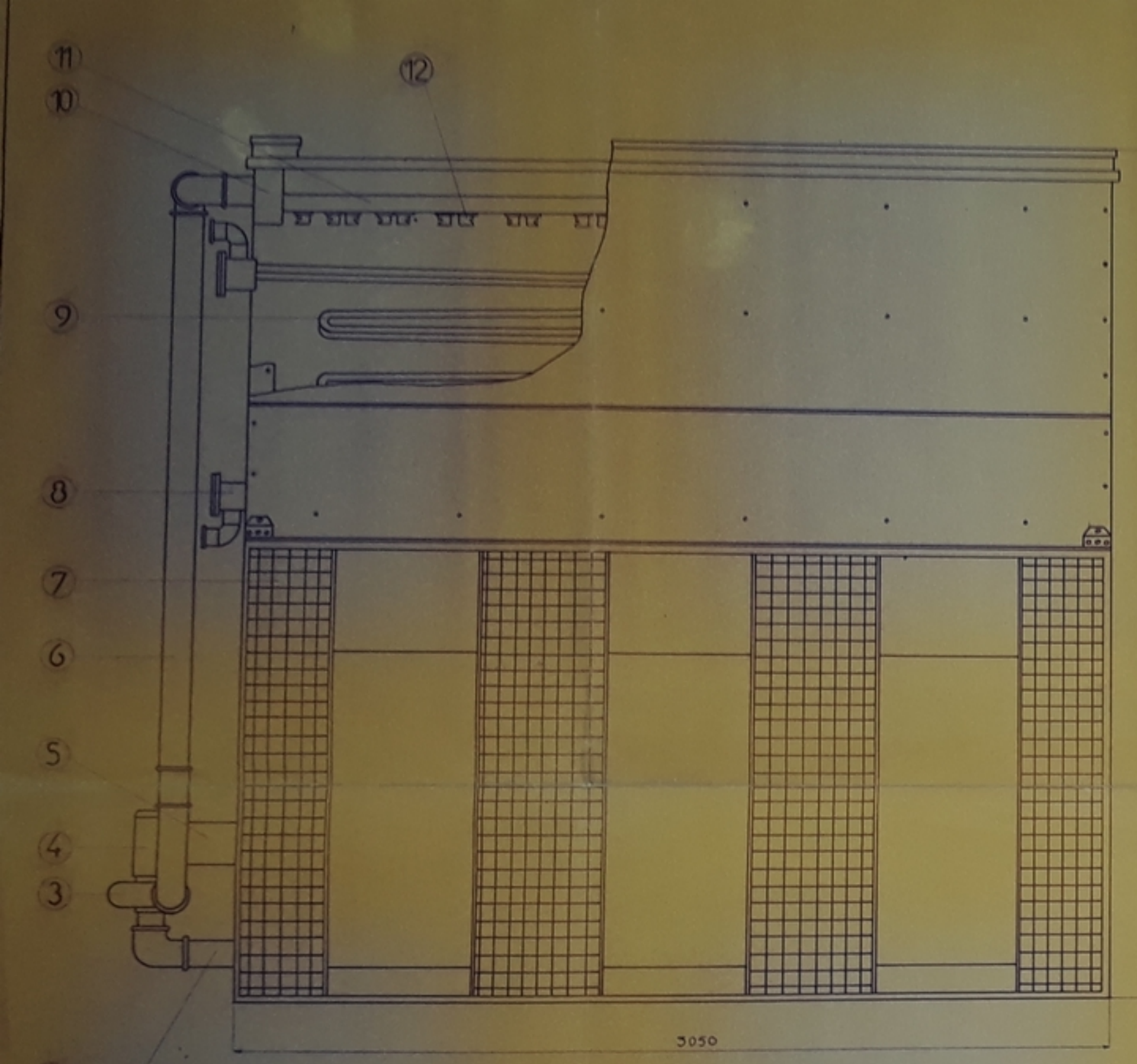
## DIAGRAMME DE L'AIR HUMIDE

PRESSION ATMOSPHERIQUE NORMALE 101300 [Pa]

198

ÉCOLE NATIONALE POLYTECHNIQUE  
BIBLIOTHÈQUE





PM 02 A 83

A-2

|    |             |                       |    |                      |            |
|----|-------------|-----------------------|----|----------------------|------------|
| 22 | -           | Vidange               | 1  |                      |            |
| 21 | TR.00.14.01 | Couvreuse hermétique  | 3  | Lait                 | inox       |
| 20 | -           | Trop. plein           | 1  |                      |            |
| 19 | -           | Poulie                | 1  | Roue                 | cuivre     |
| 18 | -           | Eau d'appoint (Vanne) | 1  | Joint                | caoutchouc |
| 17 | TR.00.42.01 | Ventilateur           | 3  | Axier                | inox/acier |
| 16 | TR.00.44.01 | Porte de visage       | 1  | Axier                | galvanisé  |
| 15 | -           | Bavette d'évacuation  | 1  |                      |            |
| 14 | -           | Purge                 | 1  |                      |            |
| 13 | TR.00.49.01 | Éliminateur           |    | Axier                |            |
| 12 | TR.00.09.01 | Buse                  | 18 | Plastique/inox. inox |            |
| 11 | TR.00.08.01 | Rampe 60x8            | 3  | Axier                | galvanisé  |
| 10 | TR.00.07.01 | Collecteur            | 1  | Axier                | galvanisé  |
| 9  | TR.00.06.01 | tubes de l'échangeur  | 48 | Axier                | galvanisé  |
| 8  | TR.00.05.01 | Collecteur            | 2  | Axier                | galvanisé  |
| 7  | -           | Ballage de protection | 4  | Axier                | Paint      |
| 6  | -           | Tube 100x40           | 1  | Axier                |            |
| 5  | -           | Branchemet électrique | 1  |                      |            |
| 4  | TR.00.04.01 | Moteur électrique     | 1  | Axier                | Paint      |
| 3  | TR.00.03.01 | Pompe centrifuge      | 1  | Bronze               | inox/acier |
| 2  | TR.00.02.01 | Section d'éliminateur | 10 | Axier                | galvanisé  |
| 1  | TR.00.01.01 | Tuyauterie aspiration | 4  | Axier                | galvanisé  |
| Rp | N° dessin   | Designation           | Nb | Matériel             | Observ.    |

| ECOLE NATIONALE POLYTECHNIQUE |       |    | TOUR            | DE            | ENPA        |
|-------------------------------|-------|----|-----------------|---------------|-------------|
| Echelle                       | 1:10  | □○ | REFROIDISSEMENT | REFRIGERATION | DÉMÉCANIQUE |
| Etudiant débord               |       |    |                 |               |             |
| Promotion                     | Gacem |    |                 |               |             |
|                               |       |    |                 |               | TRO00001    |

